

EcoClim – 2021

Le cycle du carbone dans un climat perturbé !

Philippe Peylin (CNRS)

Laboratoire des Sciences du Climat et de l'Environnement (LSCE)

Institut Pierre Simon Laplace (IPSL)

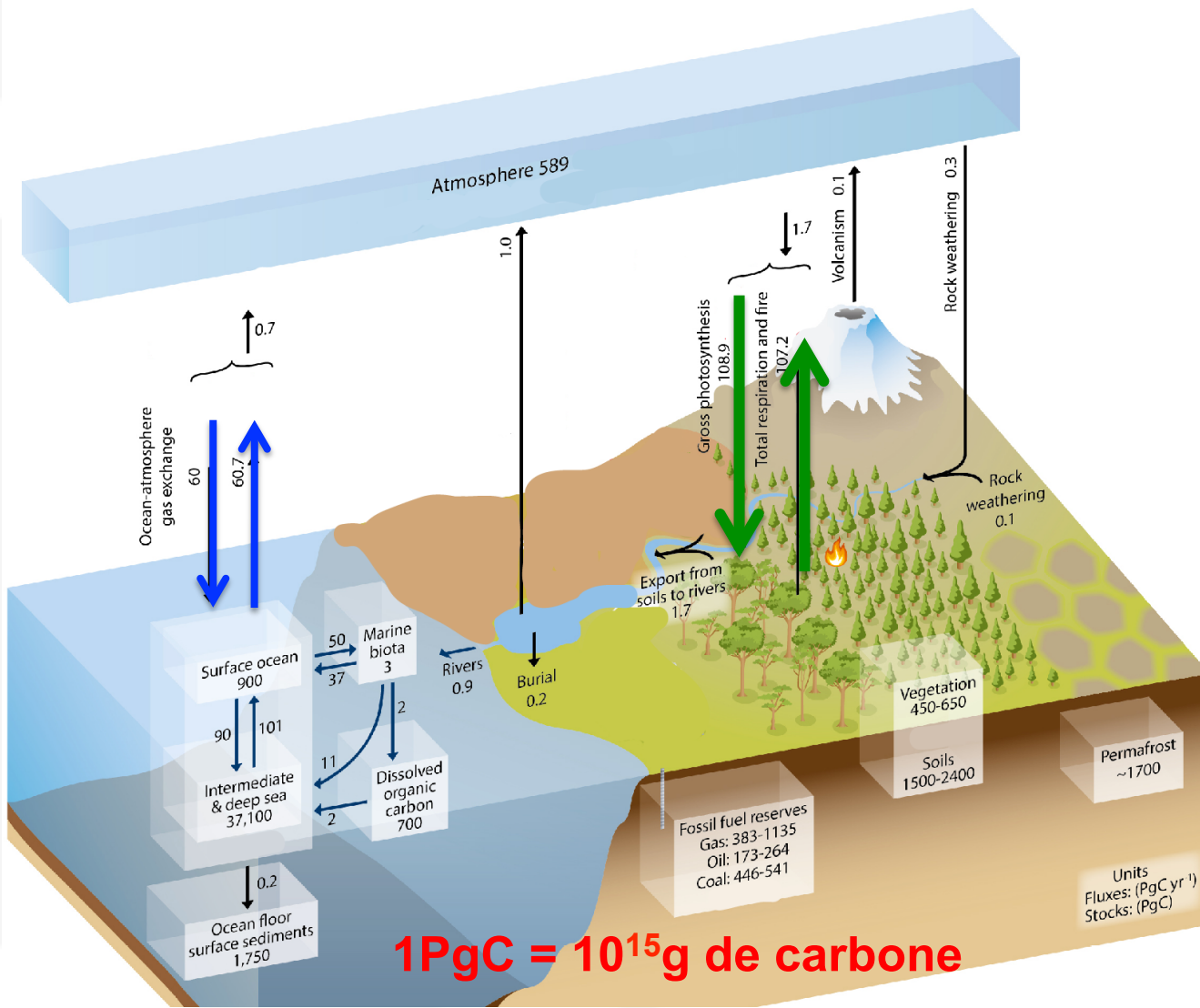
peylin@lsce.ipsl.fr



Plan

1. Le cycle du carbone naturel
2. La perturbation anthropique
3. Réponse des écosystèmes à la perturbation
4. Evolution future du cycle du carbone et incertitudes
5. La modélisation continentale du cycle du Carbone
6. L'impact de la pandémie sur les flux de CO₂

Cycle naturel pré-industriel du CO₂



Photosynthèse brute
108.9 PgC/an

Respiration et feux
107.2 PgC/an

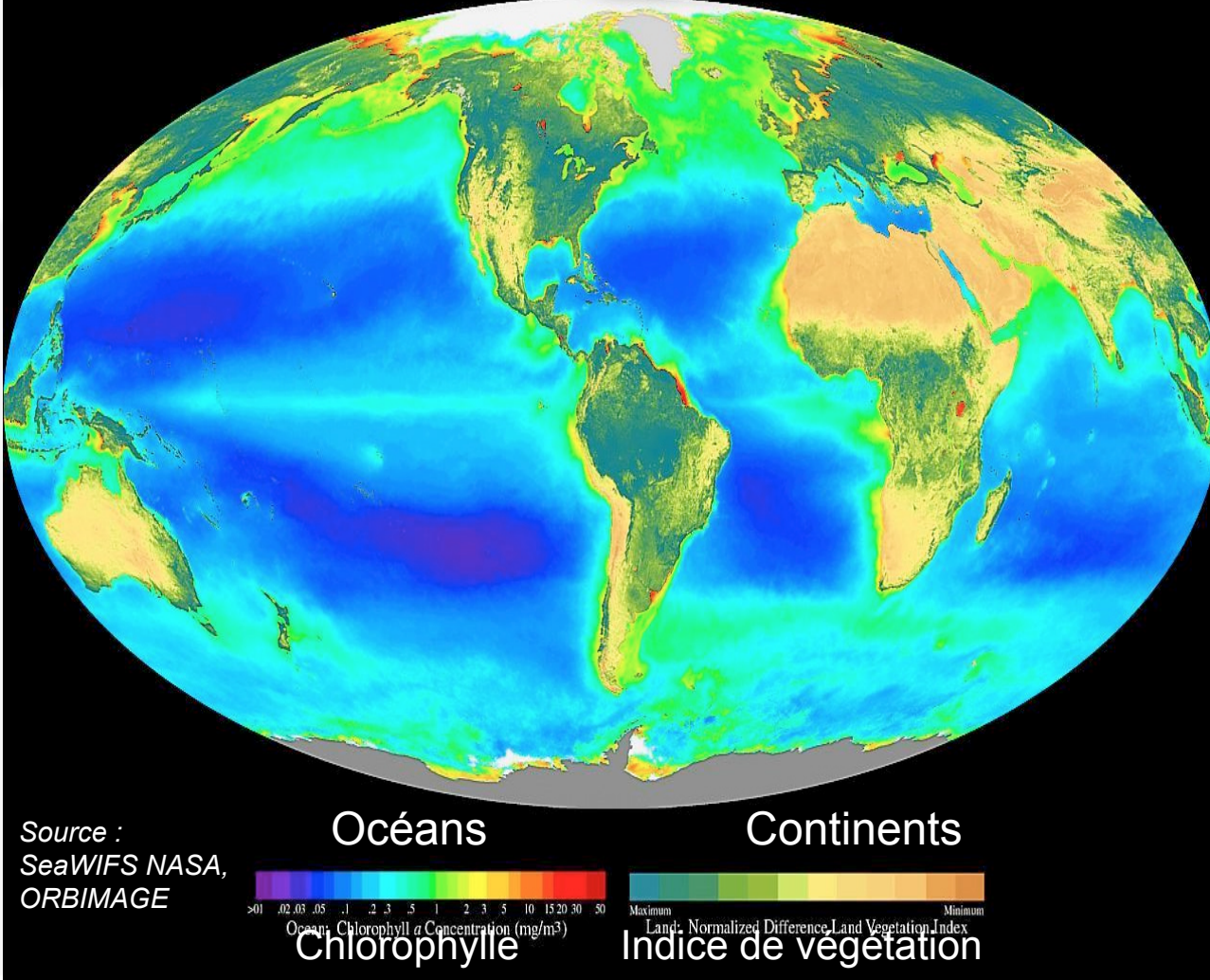
Absorption océans
60 PgC/an

Dégazage océans
60.7 PgC/an

Erosions, rivières,
volcans, sédimentation
2 PgC/an

Productivité Primaire continentale et océanique

Indicateurs approximatifs de la productivité primaire



CONTINENTS

~ 60 PgC/an

Assurée par les
Plantes vasculaires

Limitée par:

Lumière

Température

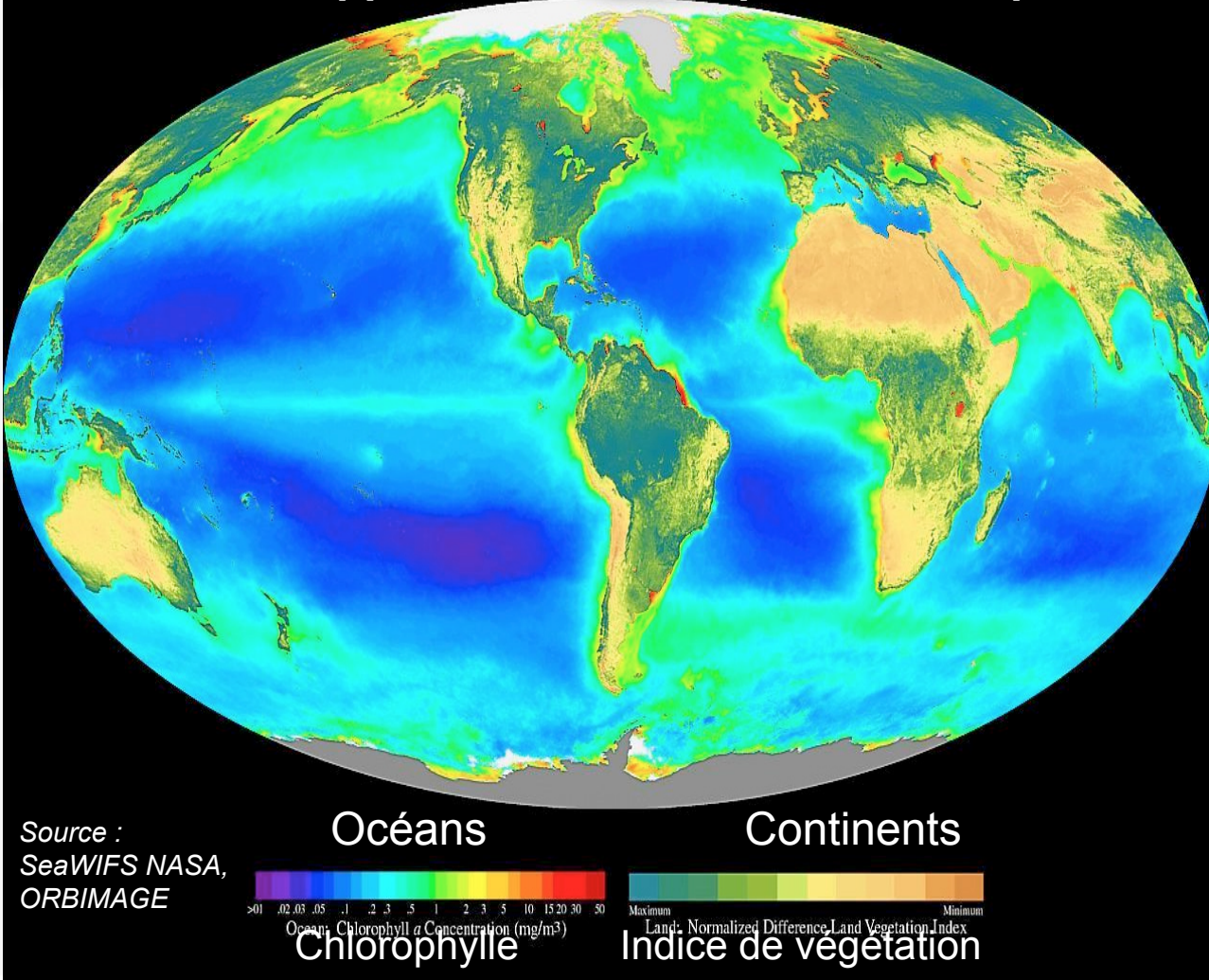
Eau

Nutriments (C, N, P,...)

Productivité Primaire Nette = Photosynthèse brute - Respiration végétale

Productivité Primaire continentale et océanique

Indicateurs approximatifs de la productivité primaire



OCEANS

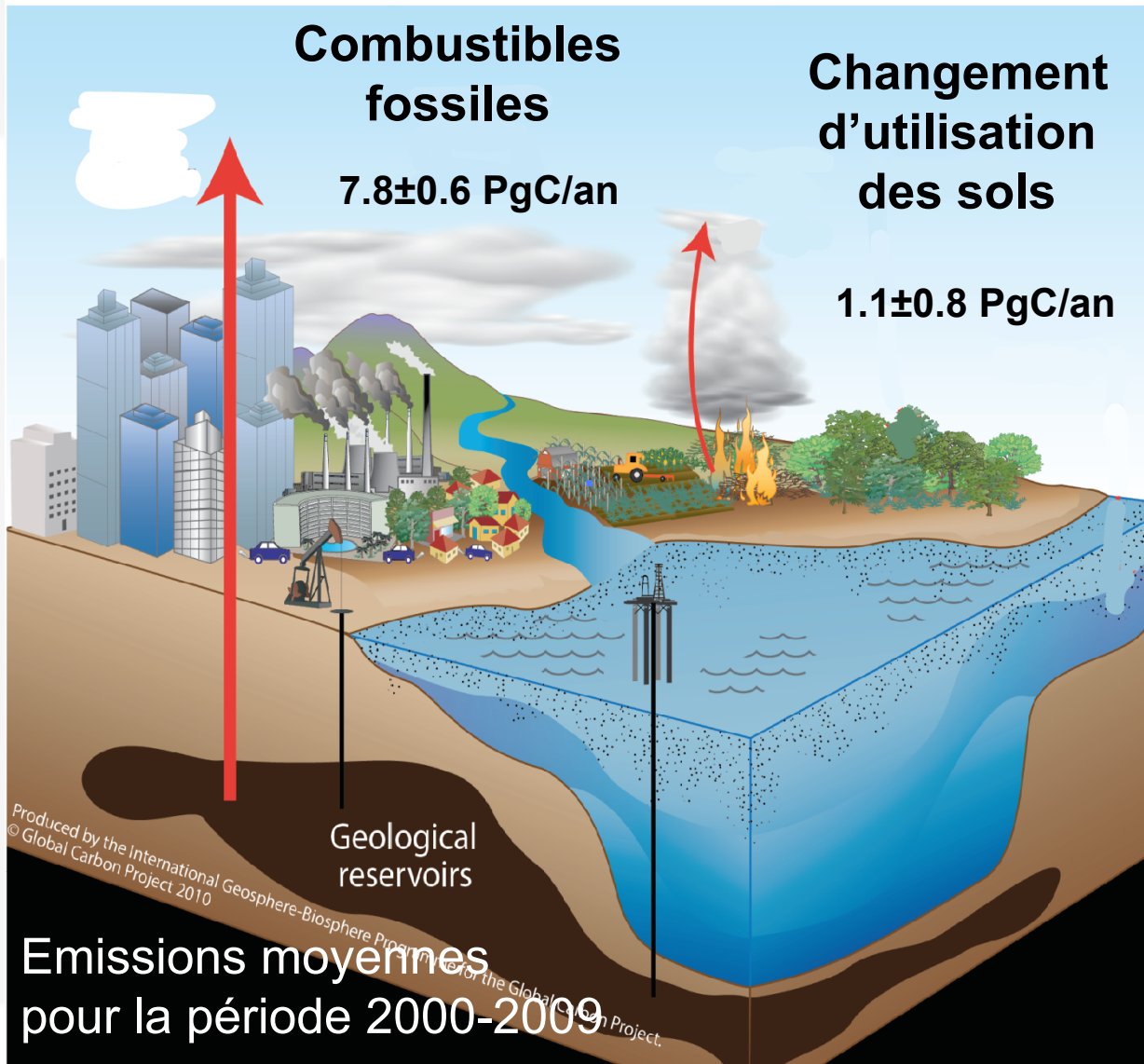
~ 50 PgC/an

Assurée par le phytoplancton

Limitée par :
Lumière
Nutriments (C, N, P,...)
Fer

Productivité Primaire Nette = Photosynthèse brute - Respiration végétale

Perturbation du cycle naturel du carbone



Combustion de charbon,
de pétrole et de gaz

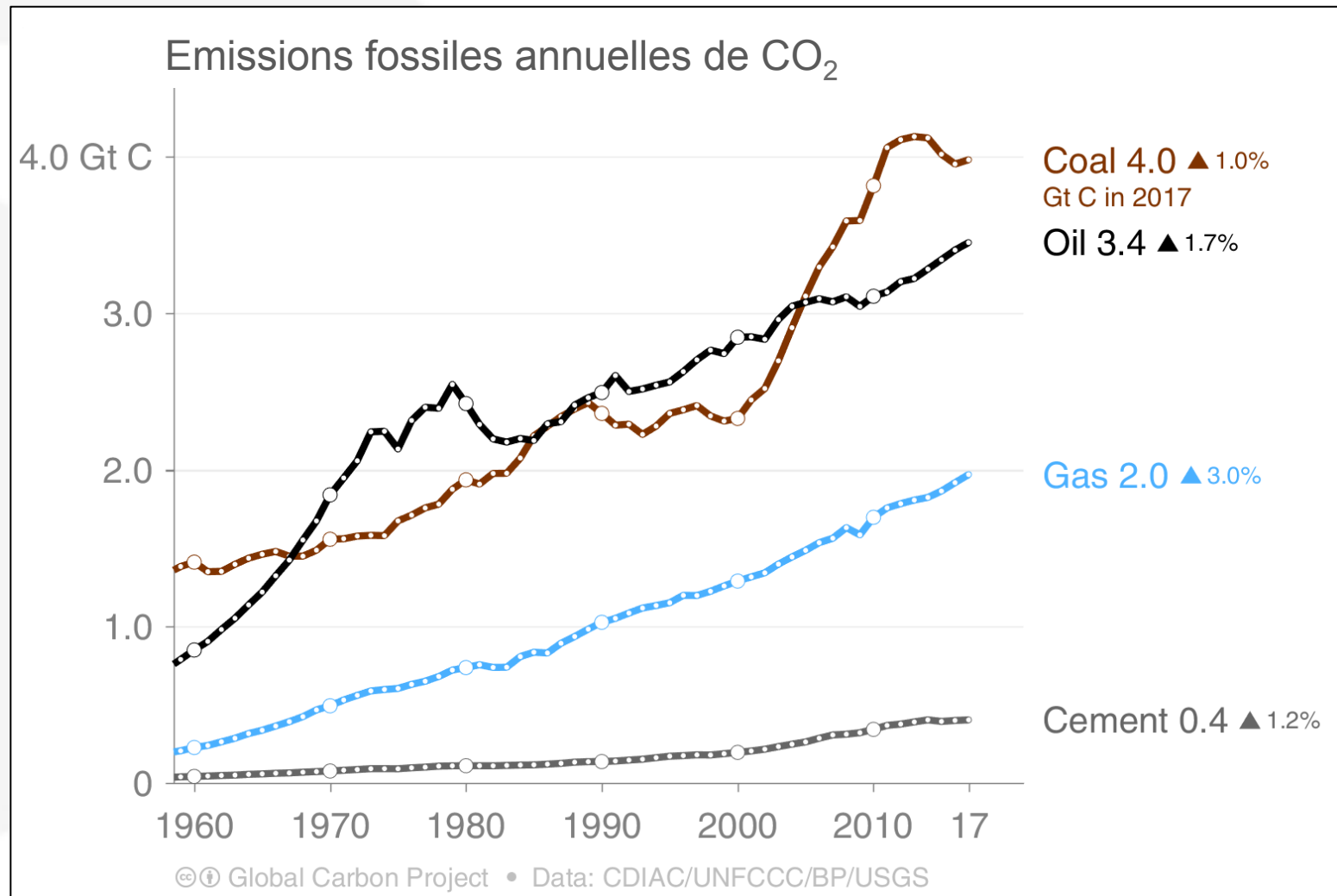
$7.8 \pm 0.6 \text{ PgC/an}$

Changement d'utilisation
des sols (déforestation
incluant les feux de
biomasse et de biofuels,
conversions de terres)

$1.1 \pm 0.8 \text{ PgC/an}$

Emissions fossile de CO₂ par catégorie

Partage des émissions fossiles de CO₂ en 2017:
Charbon (40%), Pétrole (35%), Gaz (20%), Ciment (4%), Torchère (1%, not shown)

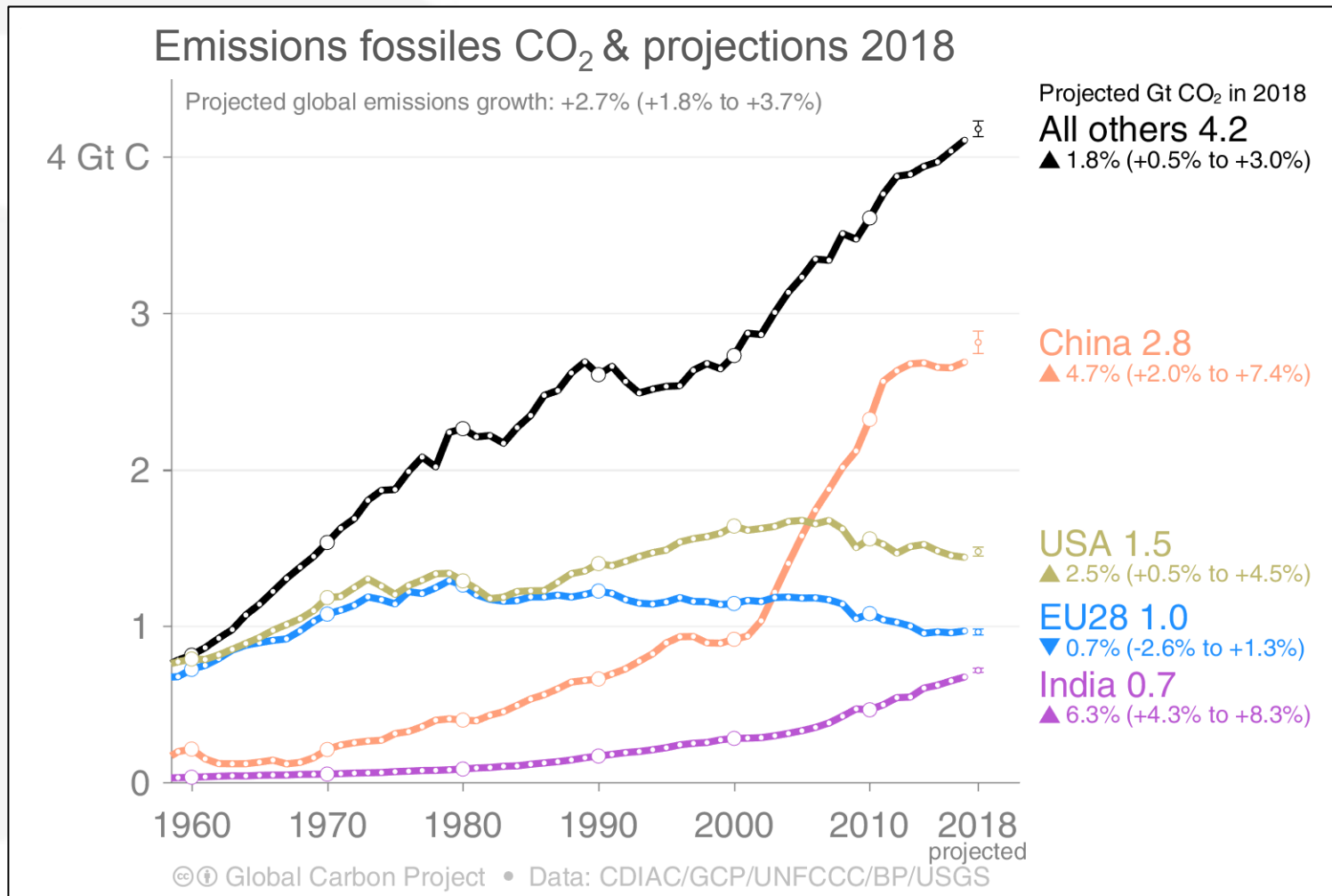


Source: [CDIAC](#); [Le Quéré et al 2018](#); [Global Carbon Budget 2018](#)

Emissions par “pays” & Projections pour 2018

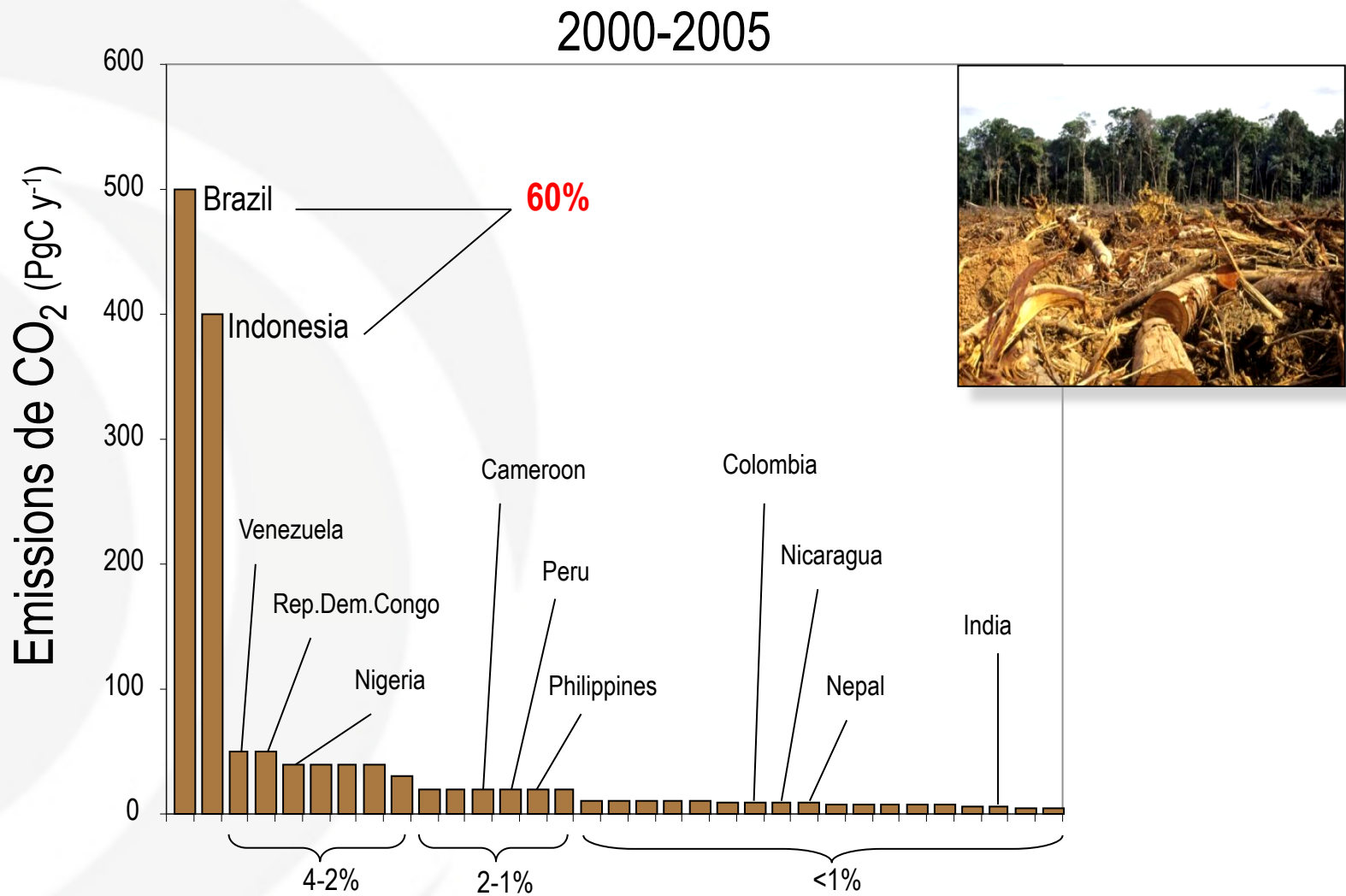
Projection des émissions fossiles de CO₂: augmentation de 2.7% in 2018 [+1.8% - +3.7%]

La croissance global repose sur les dynamiques de chaque pays.



Source: [CDIAC](#); [Jackson et al 2018](#); [Le Quéré et al 2018](#); [Global Carbon Budget 2018](#)

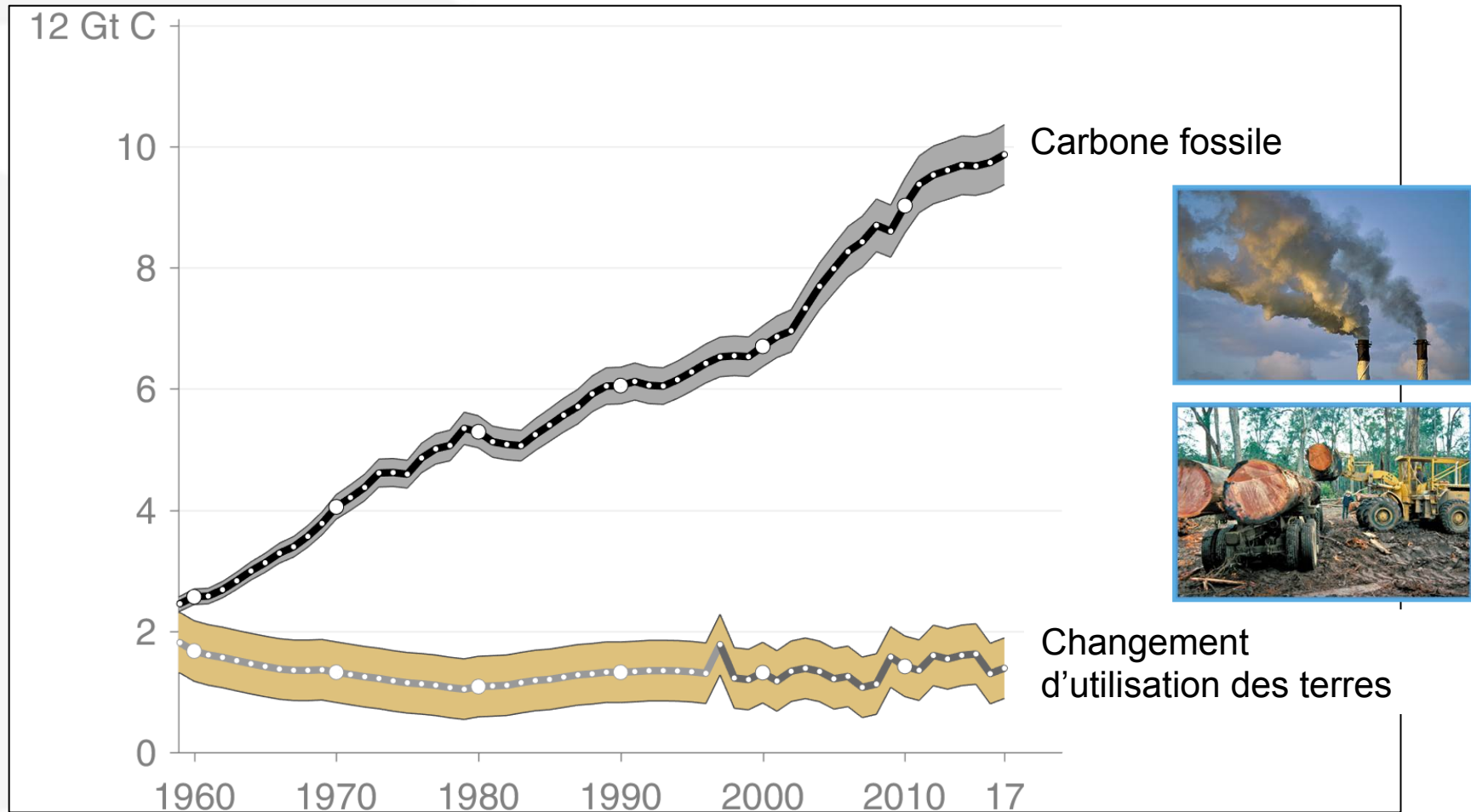
Emissions de CO₂ dues à la déforestation



Emissions anthropiques globales

Émissions totales globales : 11.2 ± 0.8 GtC en 2017

Contribution de utilisation des terres: 43% en 1960, 13% en moyenne sur 2008–2017

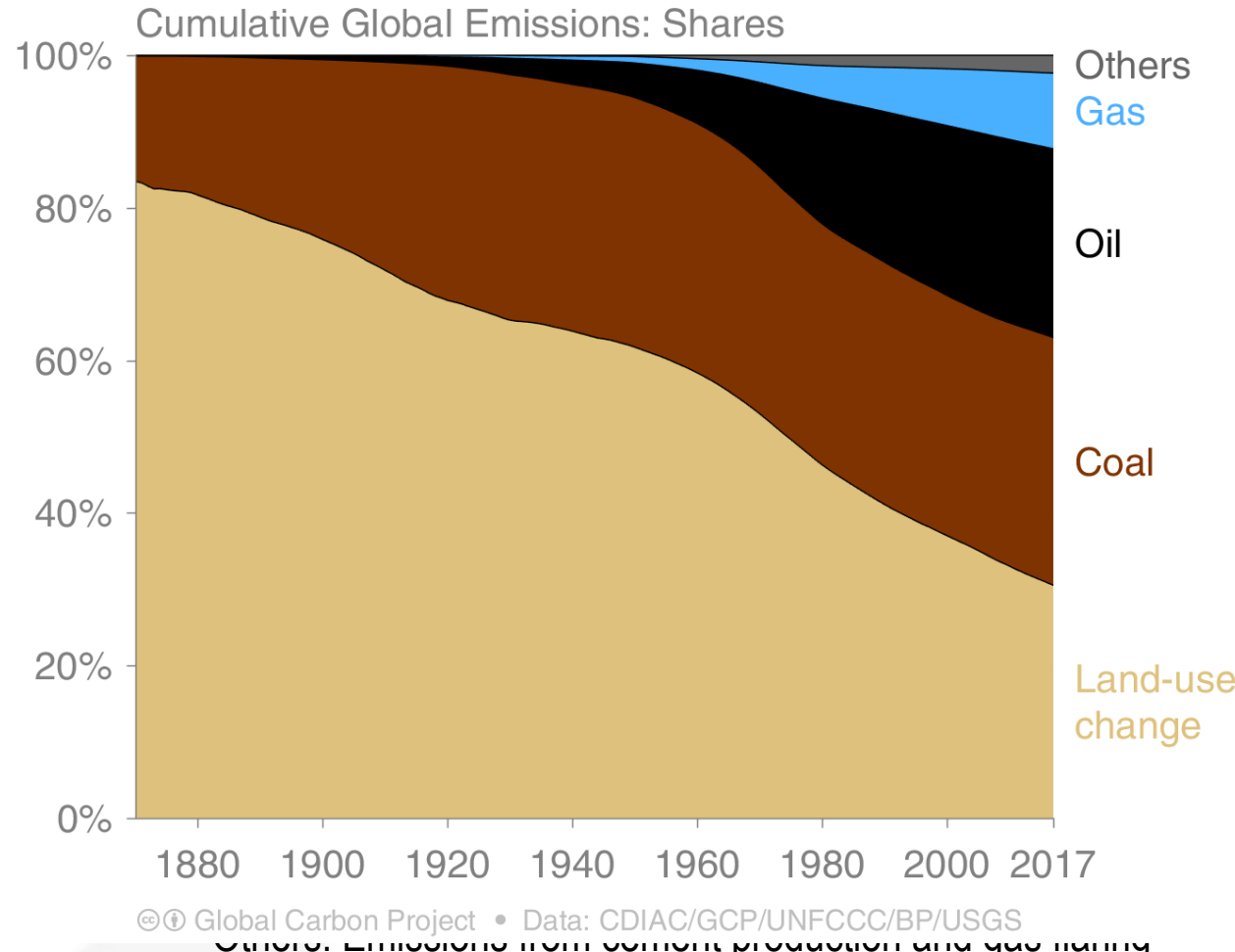


Estimation du flux liés à la déforestation selon 2 modèles à partir des surfaces brûlées depuis 1997.

Source: [CDIAC](#); [Le Quéré et al 2018](#); [Global Carbon Budget 2018](#)

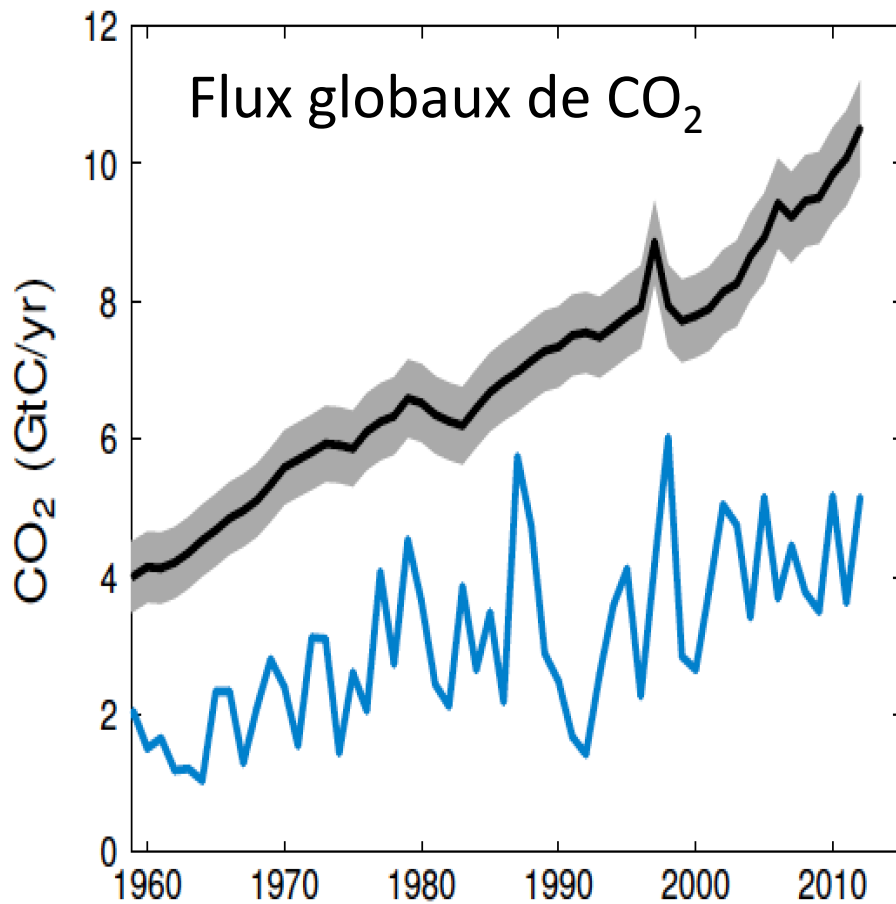
Emissions cumulées par type de source

Land-use change represents about 31% of cumulative emissions over 1870–2017,
coal 32%, oil 25%, gas 10%, and others 2%



Source: [CDIAC](#); [Houghton and Nassikas 2017](#); [Hansis et al 2015](#); [Le Quéré et al 2018](#);
[Global Carbon Budget 2018](#)

Absorption partielle des émissions de CO₂



Moyenne 2008-2017
Emissions totales
 10.8 ± 0.6 PgC/an

Taux de Croissance observé
 4.7 ± 0.1 PgC/an

Absorption par les écosystèmes terrestres et océaniques (\approx la moitié)



Absorption par la biosphère terrestre

→ Effet fertilisant du CO₂ atmosphérique

Photosynthèse (principe)

CO₂ atmos : substrat limitant

↗ [CO₂]_{atm} → ↗ Assimilation C

Lumière



Plante chlorophyllienne

Mise en évidence expérimentale

Expérience FACE (doublement CO₂)

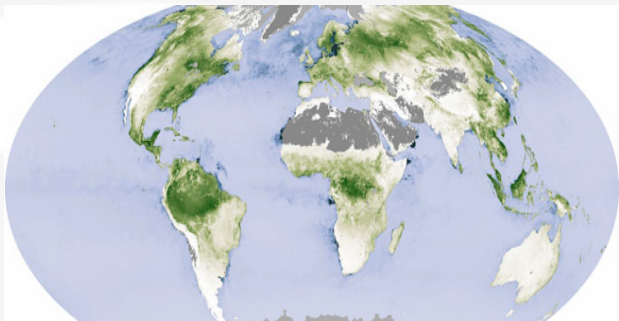


→ Augmentation de la productivité primaire nette ≈ 20-40%
(Norby et al. 2010)



Absorption par la biosphère terrestre

- Effet fertilisant du CO₂



→ Lié à la productivité primaire

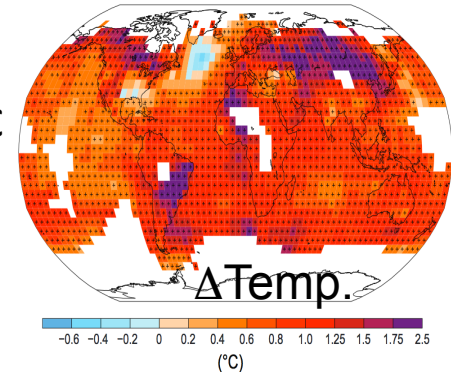
- Gestion des écosystèmes



Extensif vs Intensif

- Impact du changement climatique

- ❖ sur la photosynthèse
- ❖ sur la dégradation du C organique des sols



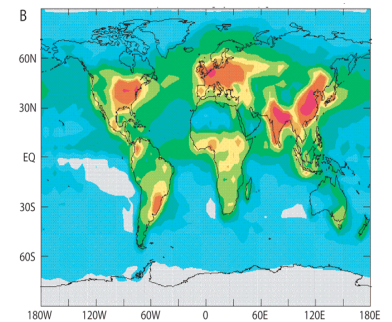
- Disponibilité en nutriments (dépôts d'azote)

depuis 1750: 150 PgC ± 60%

Variations temporelles & spatiales du puits incertaines

→ Enjeux de recherche

Dépot de N inorganique (mg m⁻² an⁻¹)



Bilans nets variables selon les écosystèmes

Importance des sols:



- Dynamique du C sol
- Impactée par CC ?
- effet « priming » ?

Forêts boréales



Temps de résidence : 80 ans

→ Temps de résidence moyen du « carbone aérien » très variable

Forêts tempérées



Temps de résidence : 20 ans

Forêts tropicales



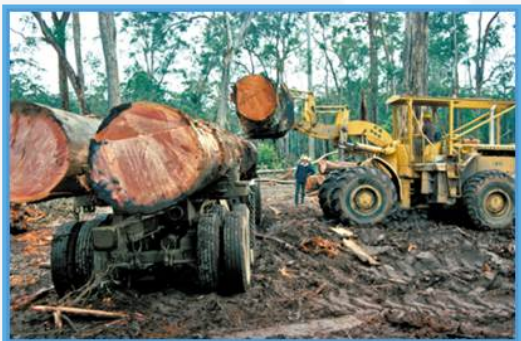
Temps de résidence : 30 ans

Devenir des émissions anthropiques de CO₂ (2008–2017)



Sources = Puits

9.4 GtC/yr
87%



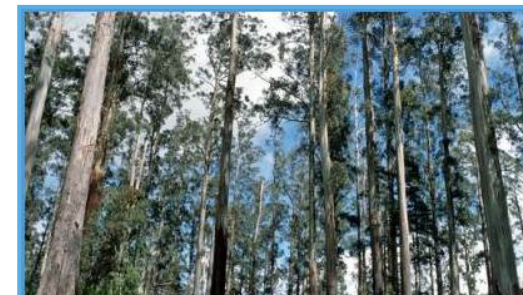
13%
1.4 GtC/yr

4.7 GtC/yr

44%



29%
3.2 GtC/yr



22%
2.4 GtC/yr

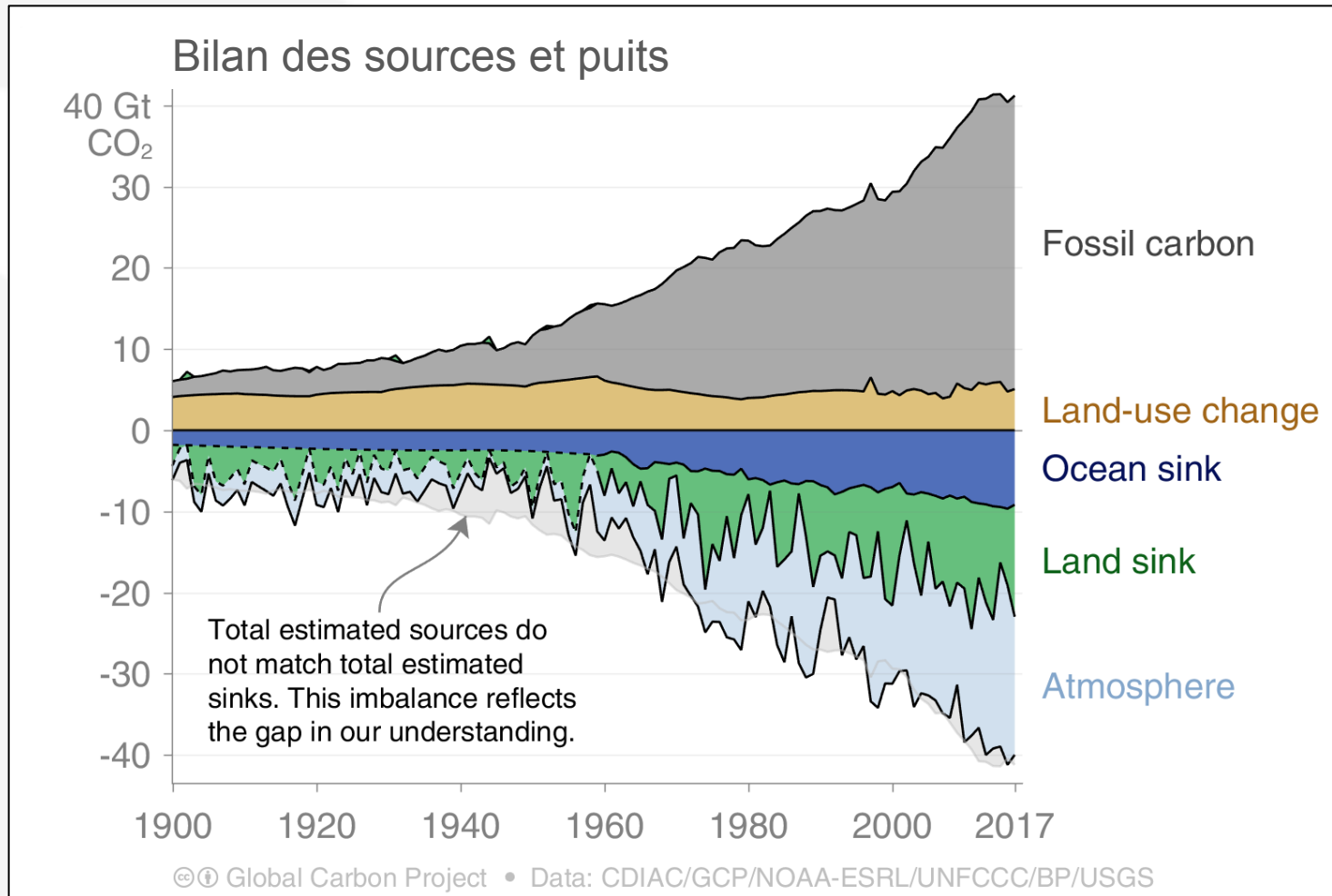


Déséquilibre du budget:
(différence entre les sources et puits estimés)

5%
0.5 GtC/yr

Bilan global du CO₂

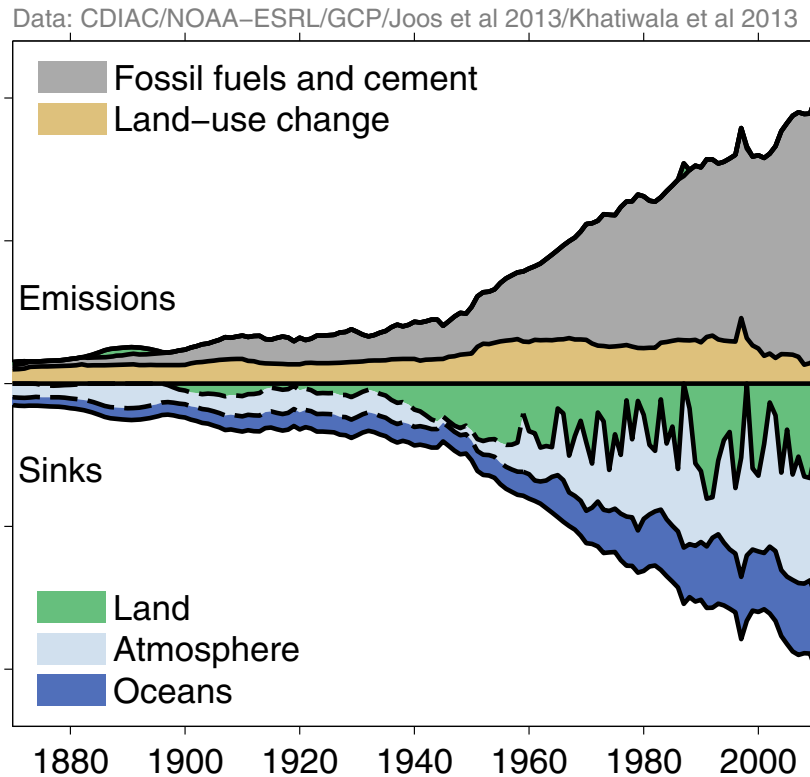
Depuis 1750, les activités humaines ont émis 555 ± 85 PgC (fossil & Land use)



Le terme “déséquilibre” entre émissions et puits totaux révèle notre manque de compréhension!

Source: [CDIAC](#); [NOAA-ESRL](#); [Global Carbon Budget 2018](#)

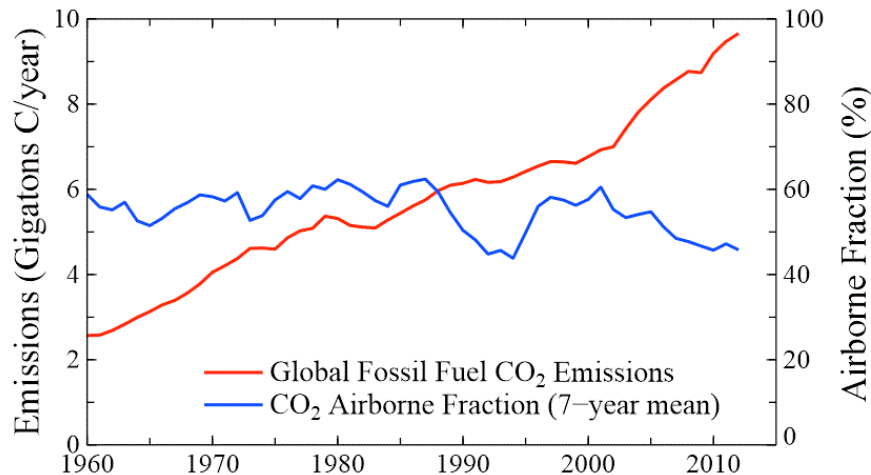
Retro-actions du cycle du carbone



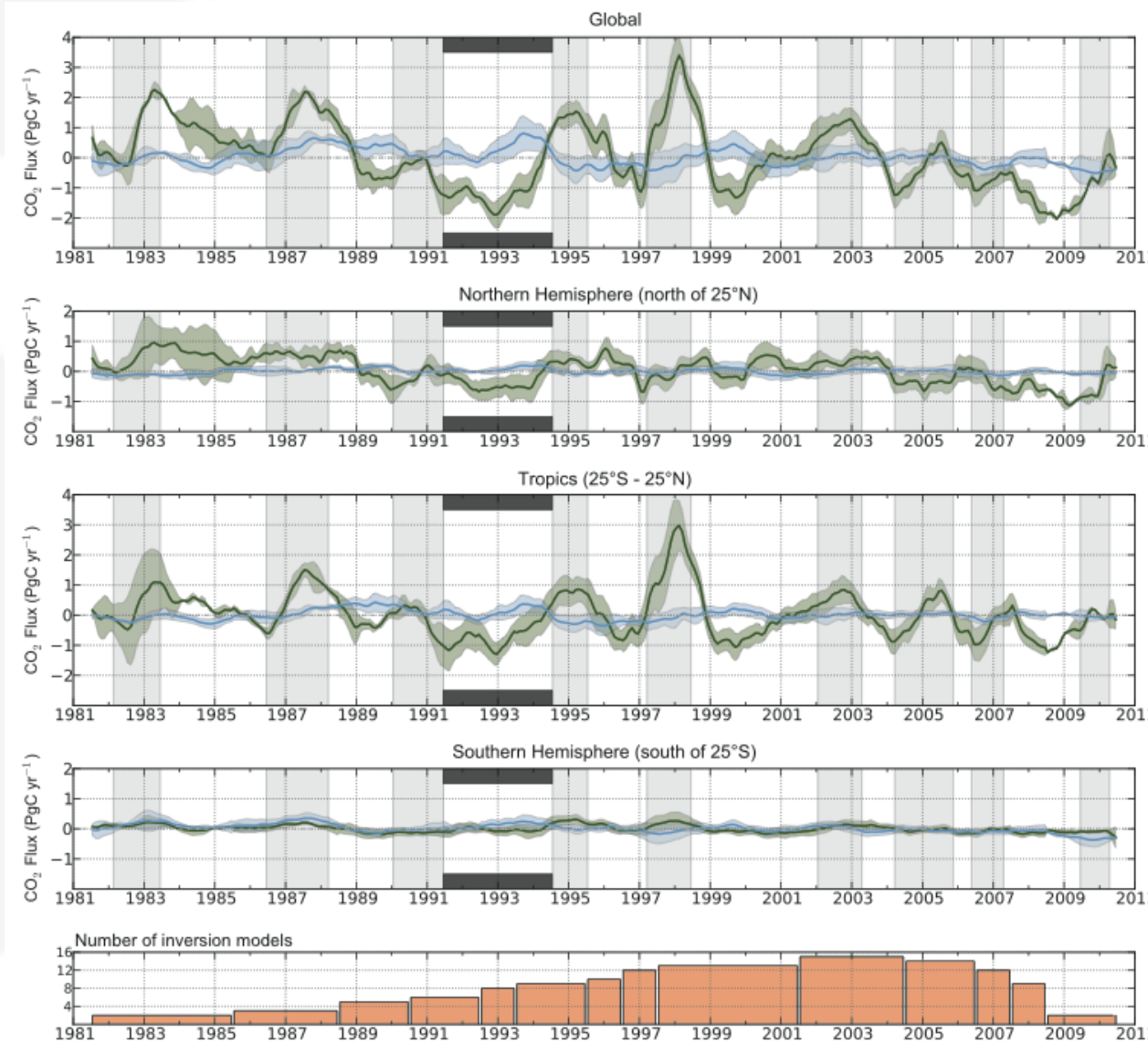
- Fraction atmosphérique (AF)

$$AF = \frac{S_{ATM}}{(E_{FF} + E_{LUC})}$$

- AF constant et contrôlée par:
 - Changement climat
 - Fertilization CO₂
 - Dépot N
 - Utilisation des terres



Anomalies du flux de carbone (terrestre / océanique) *(from atmospheric CO₂ inversion)*



Global

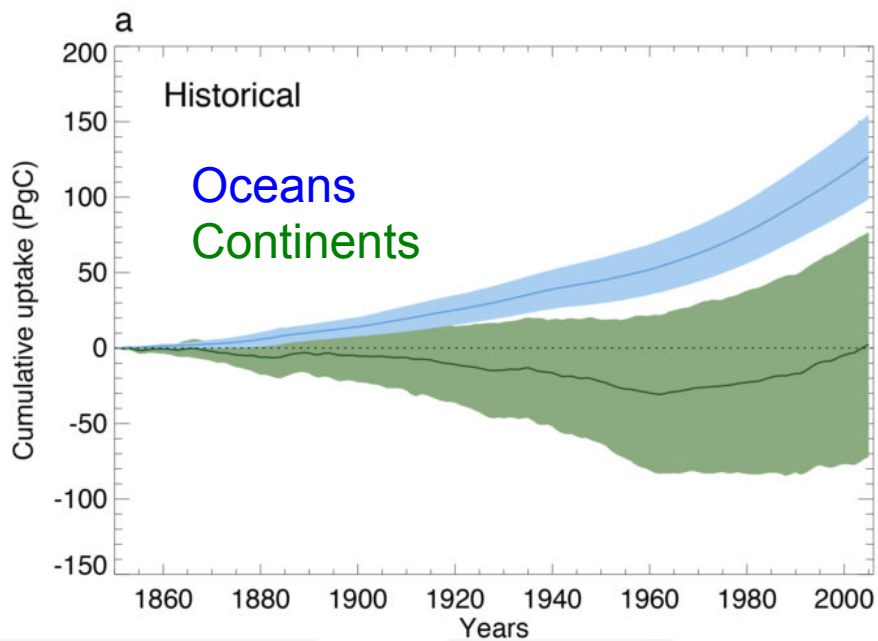
North Hemis.

Tropics

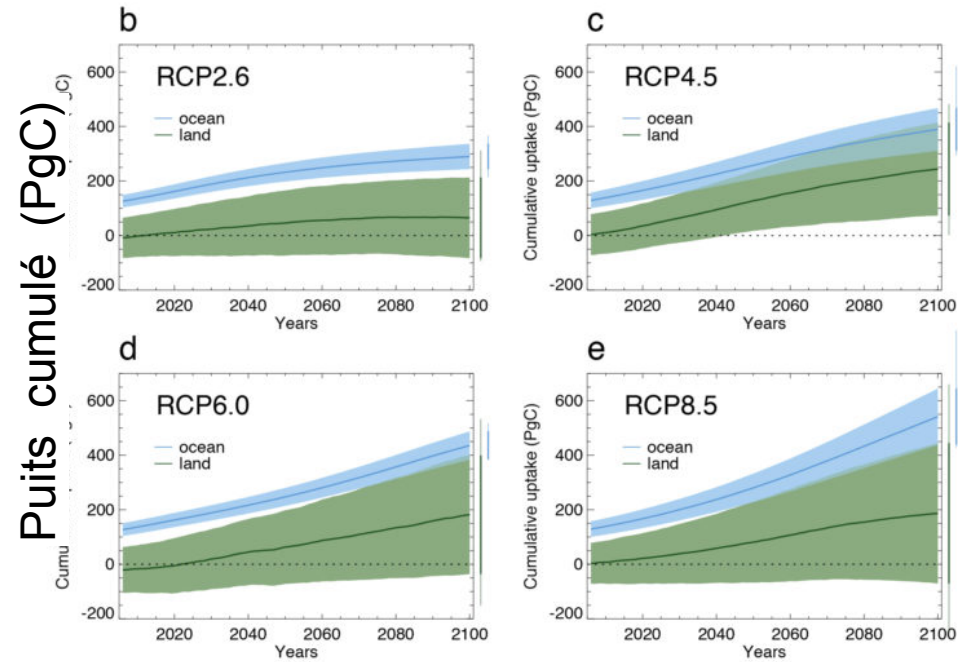
South Hemis.

Simulation du stockage futur de carbone par les océans et les continents: modèles CMIP5

Historique



Futur: trajectoires représentatives de concentration en GhG (RCP)



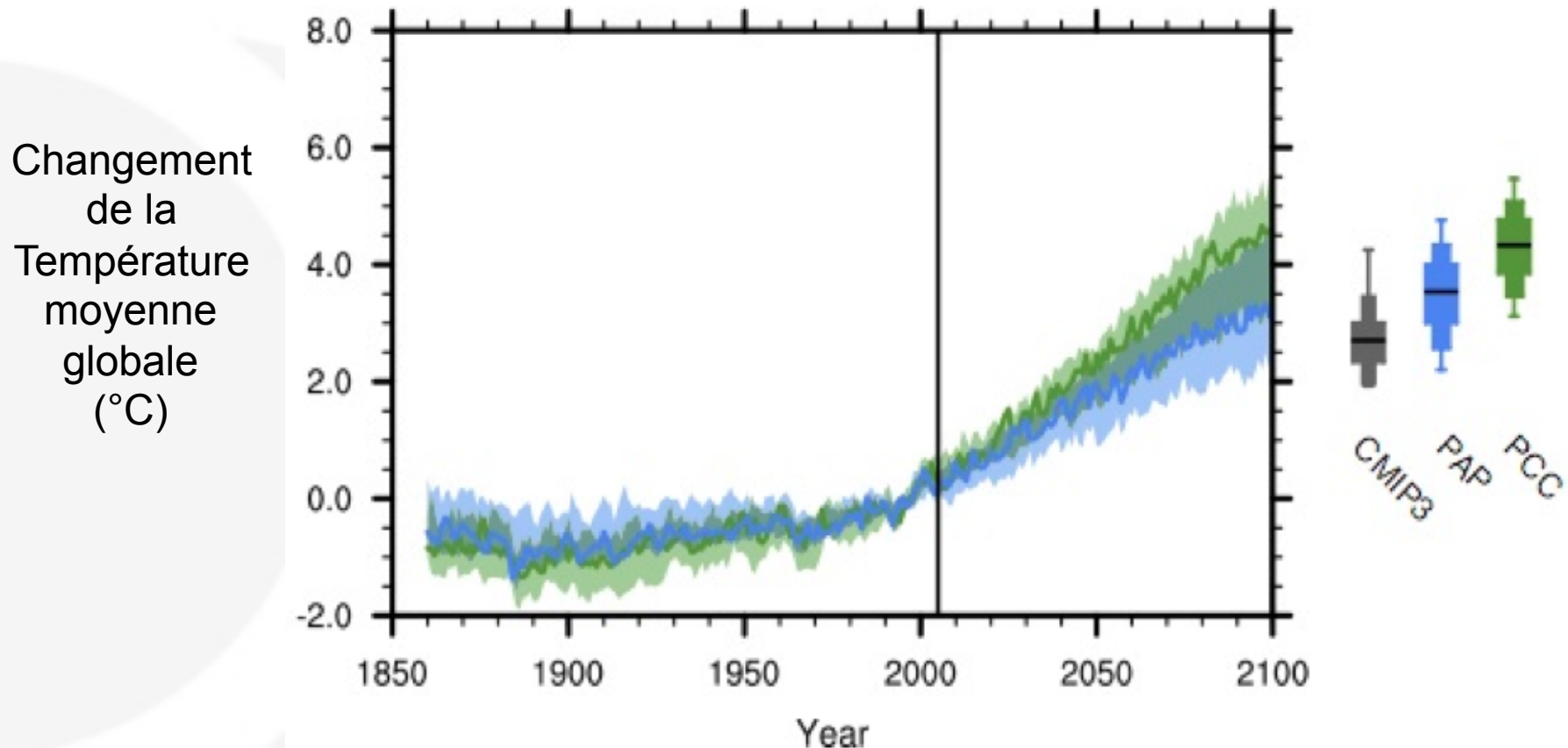
Très forte incertitude associée aux projections du stockage de C sur les continents

Incertitudes: paramètres Carbone vs Physique

Analyse de sensibilité avec 1 modèle (HadCM3 – SRES-A1B) variant:

Paramètres de la physique atmosphérique

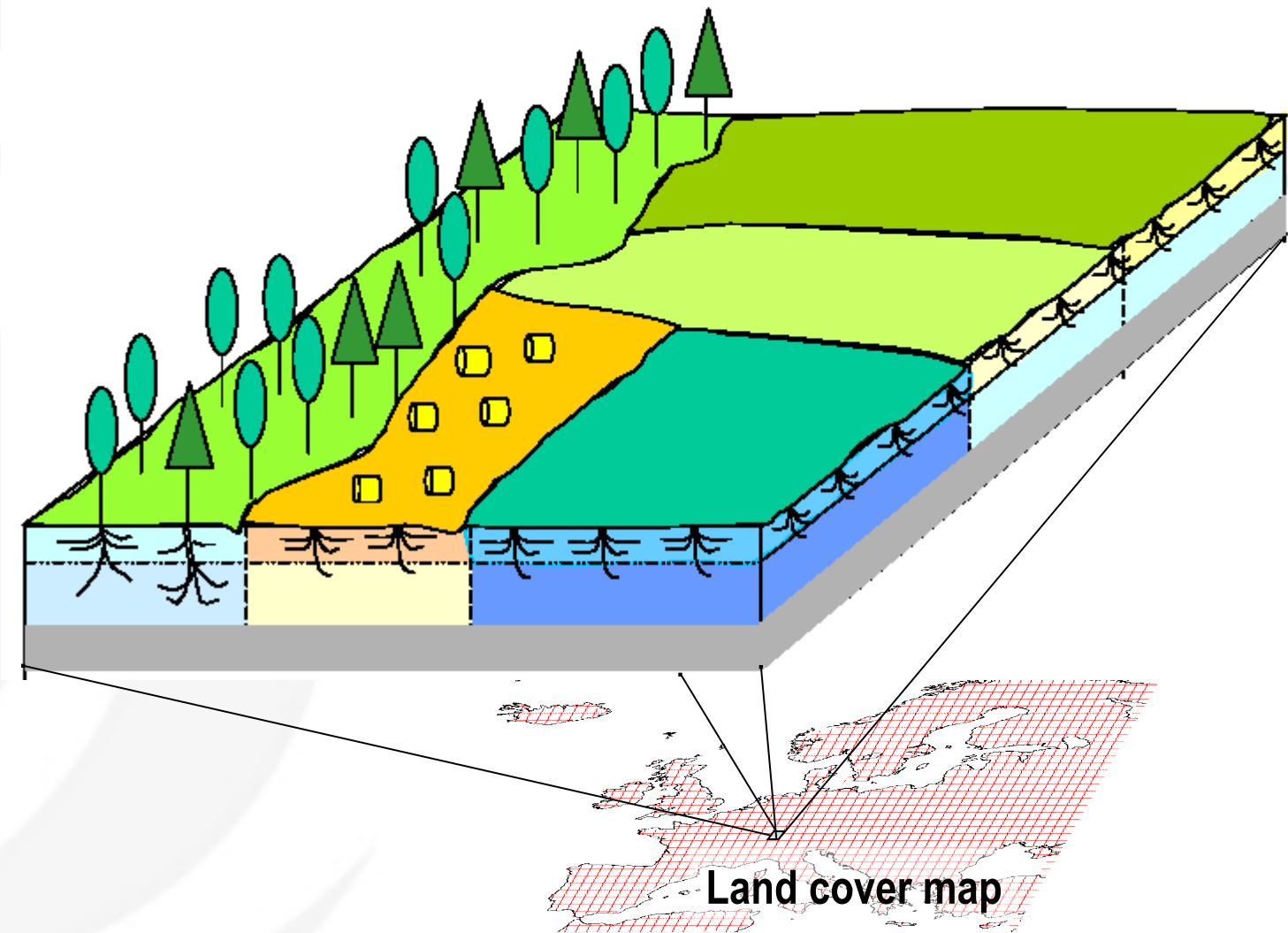
Parmètres du cycle du carbone terrestre



**Modélisation du bilan de carbone
des écosystèmes terrestres !**

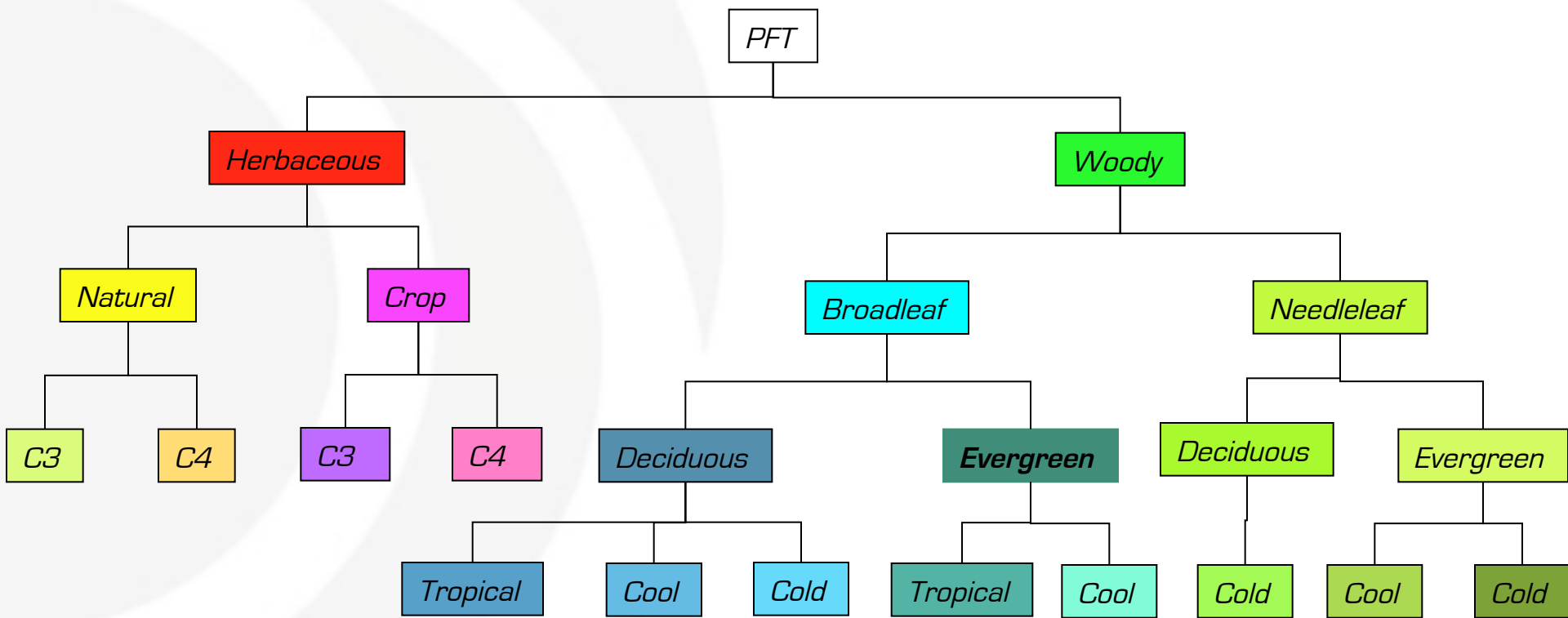
Modèles de surface continentale...

- A mosaic of vegetation

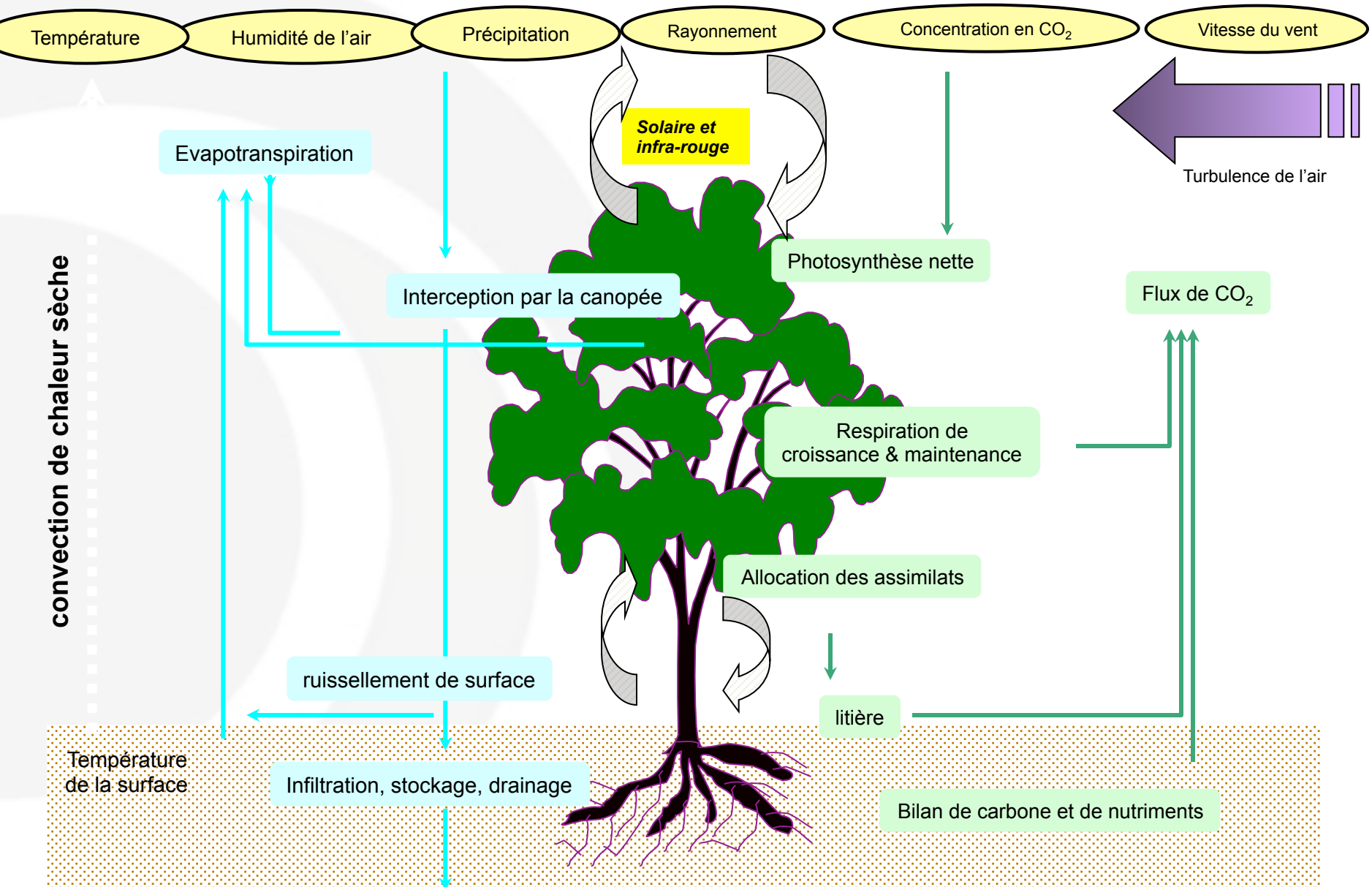


Représentation de la végétation

- Concept de ‘Type fonctionnel de plante’ (PFT)
- Définit selon des critères systématiques, physiologiques, phénologiques, climatiques



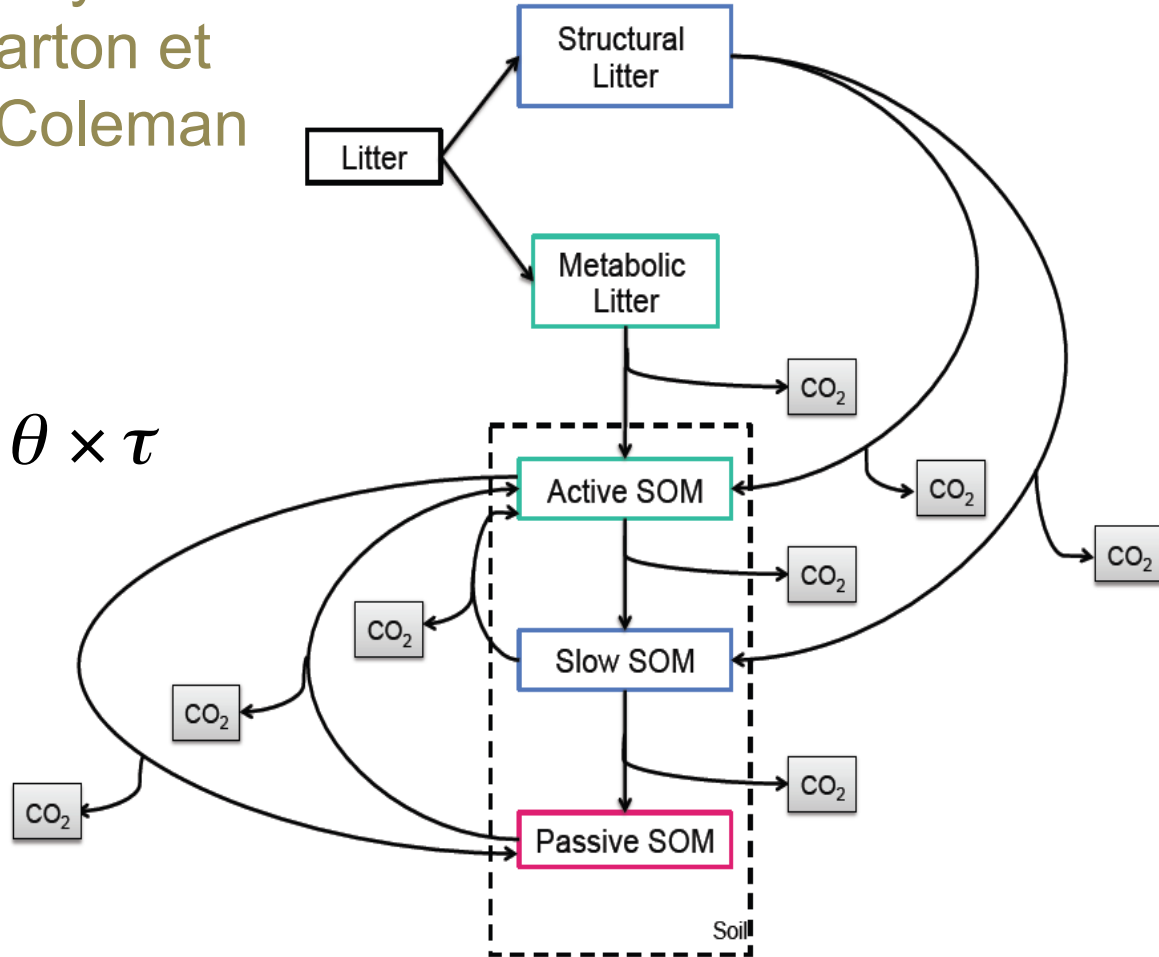
Les processus clés simulés par un modèle de biosphère



Représentation du carbone des sols (tous les modèles)

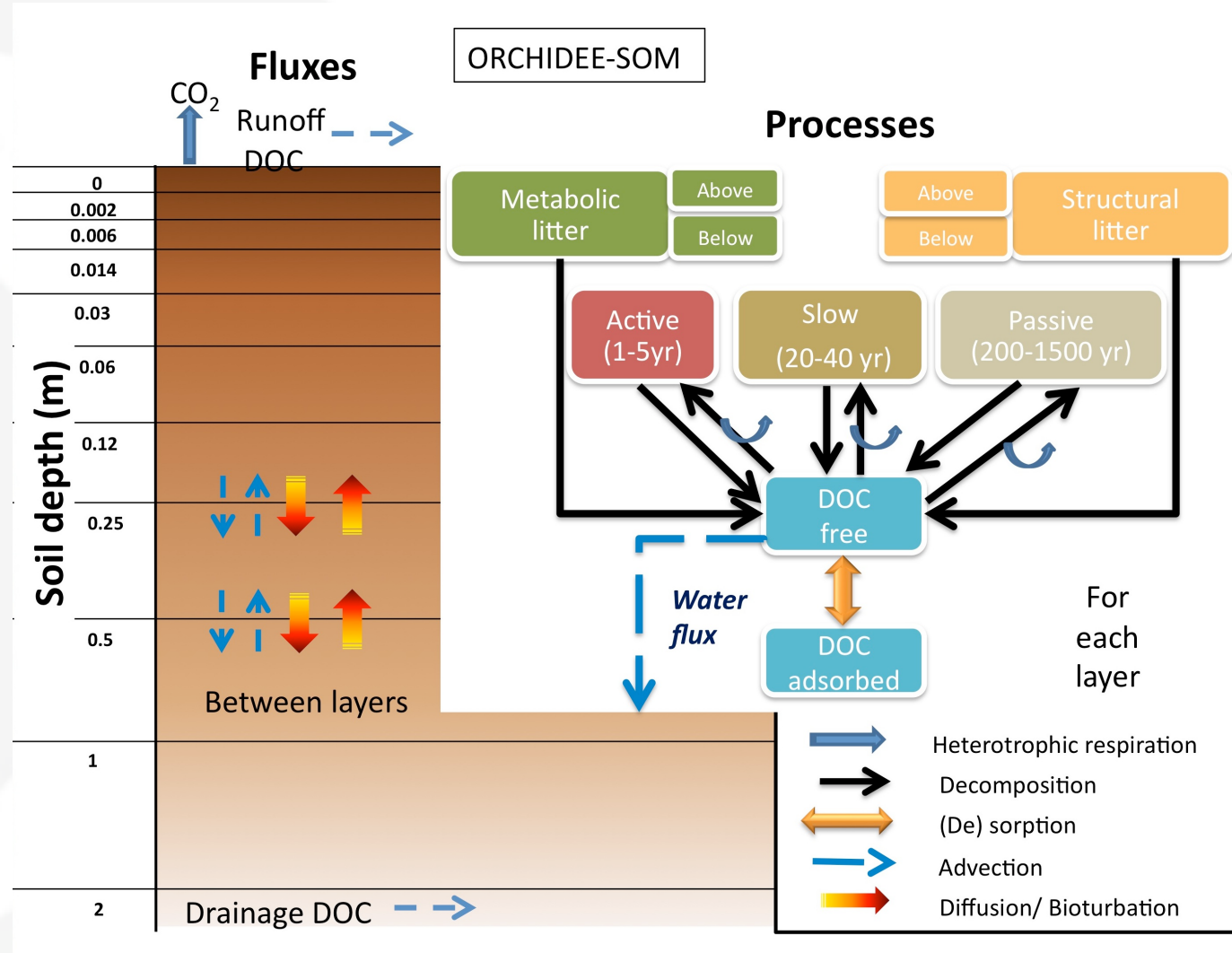
- Soil representation mainly based on CENTURY (Parton et al., 1987) or on RothC (Coleman and Jenkinson, 1999)

$$\frac{\partial SOC}{\partial t} = I - k \times SOC \times \theta \times \tau$$



Représentation du carbone des sols (ORCHIDEE modèle)

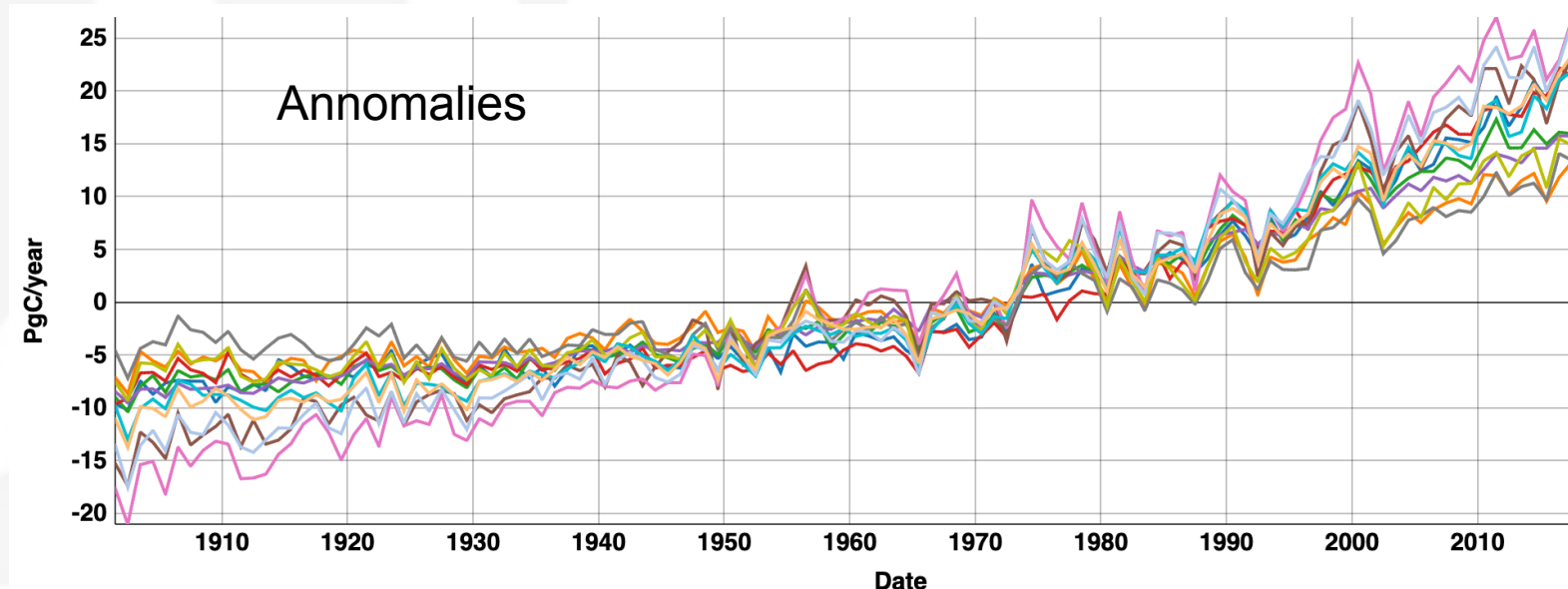
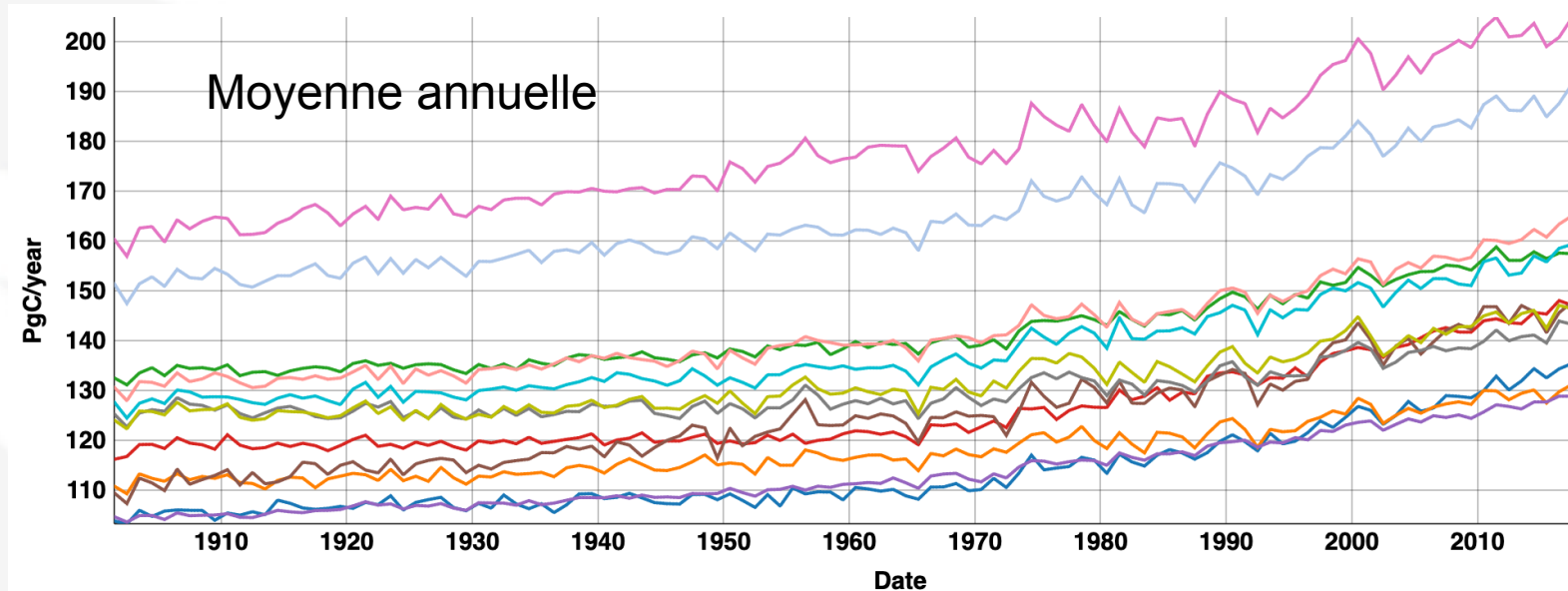
- Soil C discretized using the same layers than hydrology scheme (11 layers). A new pool introduced (DOC)



Quelles incertitudes associées aux modèles de biosphère actuels ?

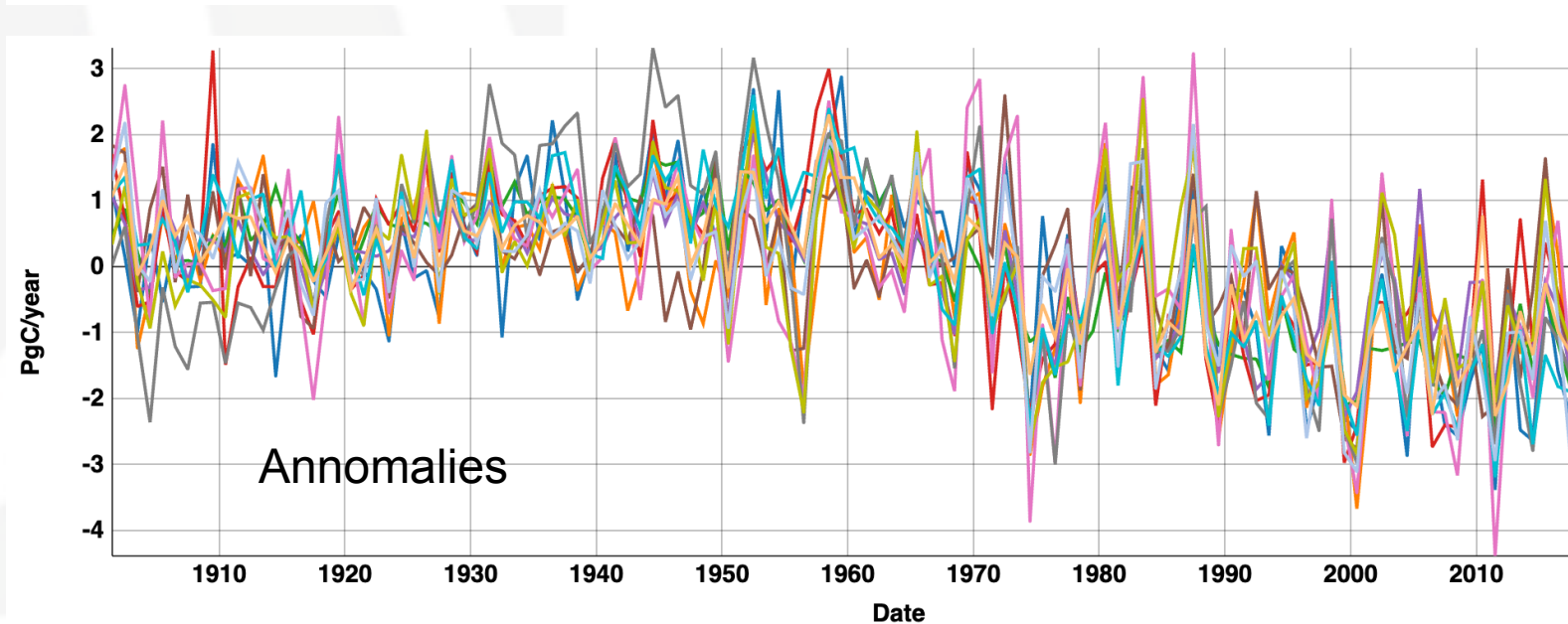
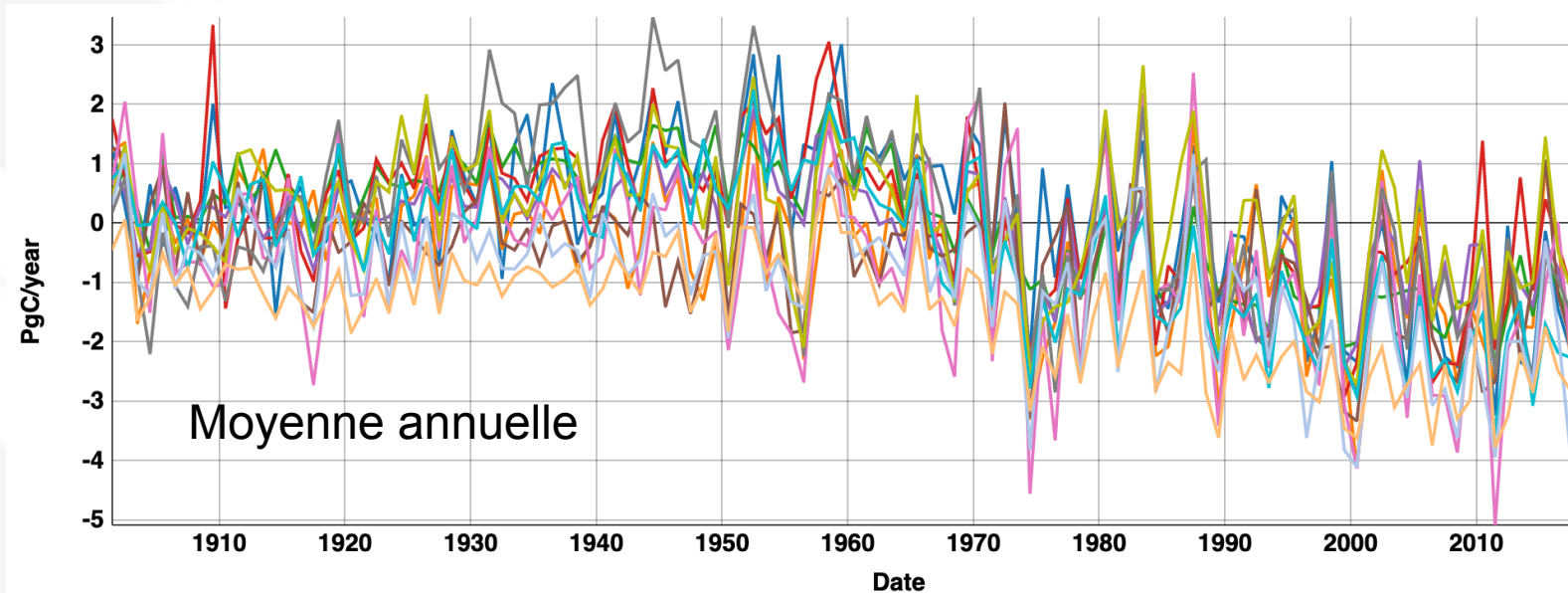
Flux de Photosynthèse: Modèle globaux

TRENDY
Inter-
comparaison



Flux de net de carbone (végétation – atmopshère)

TRENDY
Inter-
comparaison

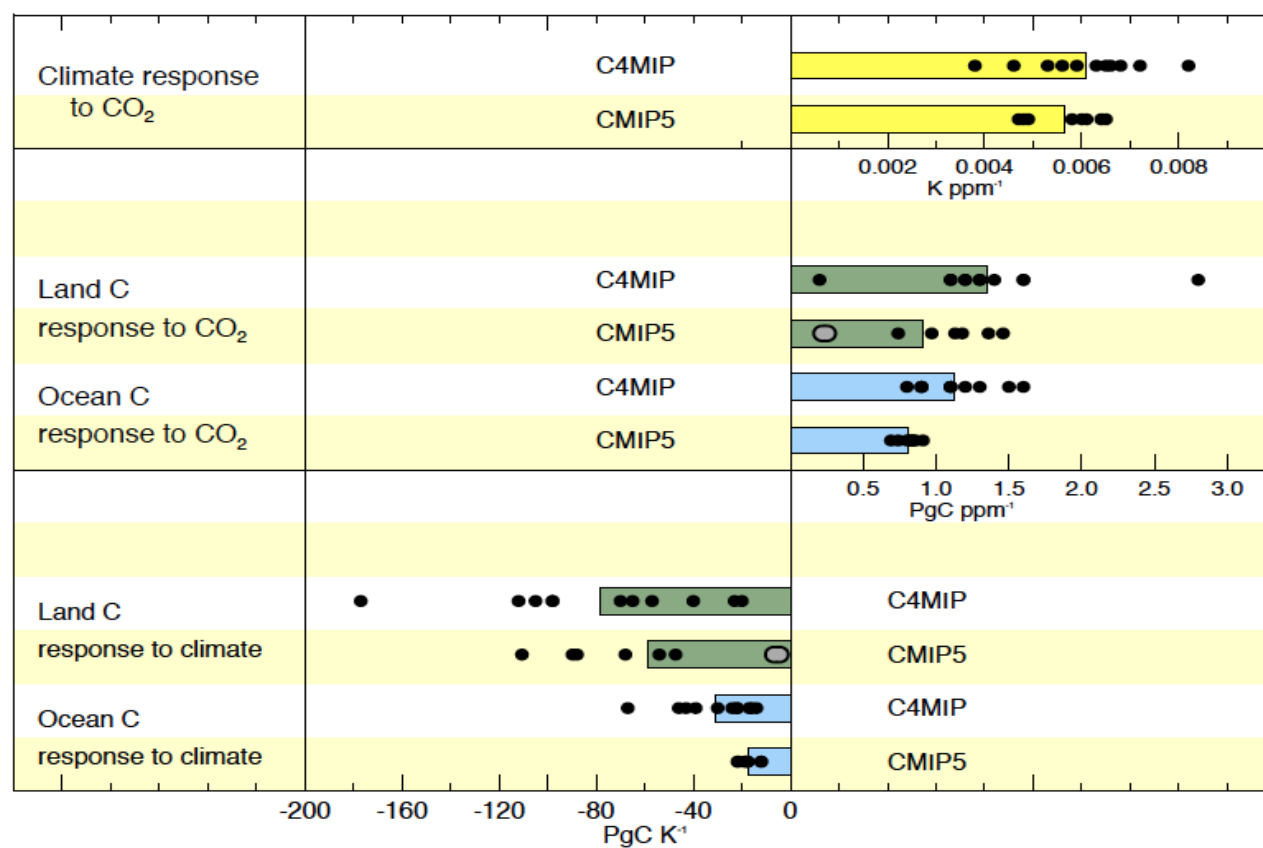


Rétroactions positives Climat - Carbone

Climate response to CO₂ (K / ppm)

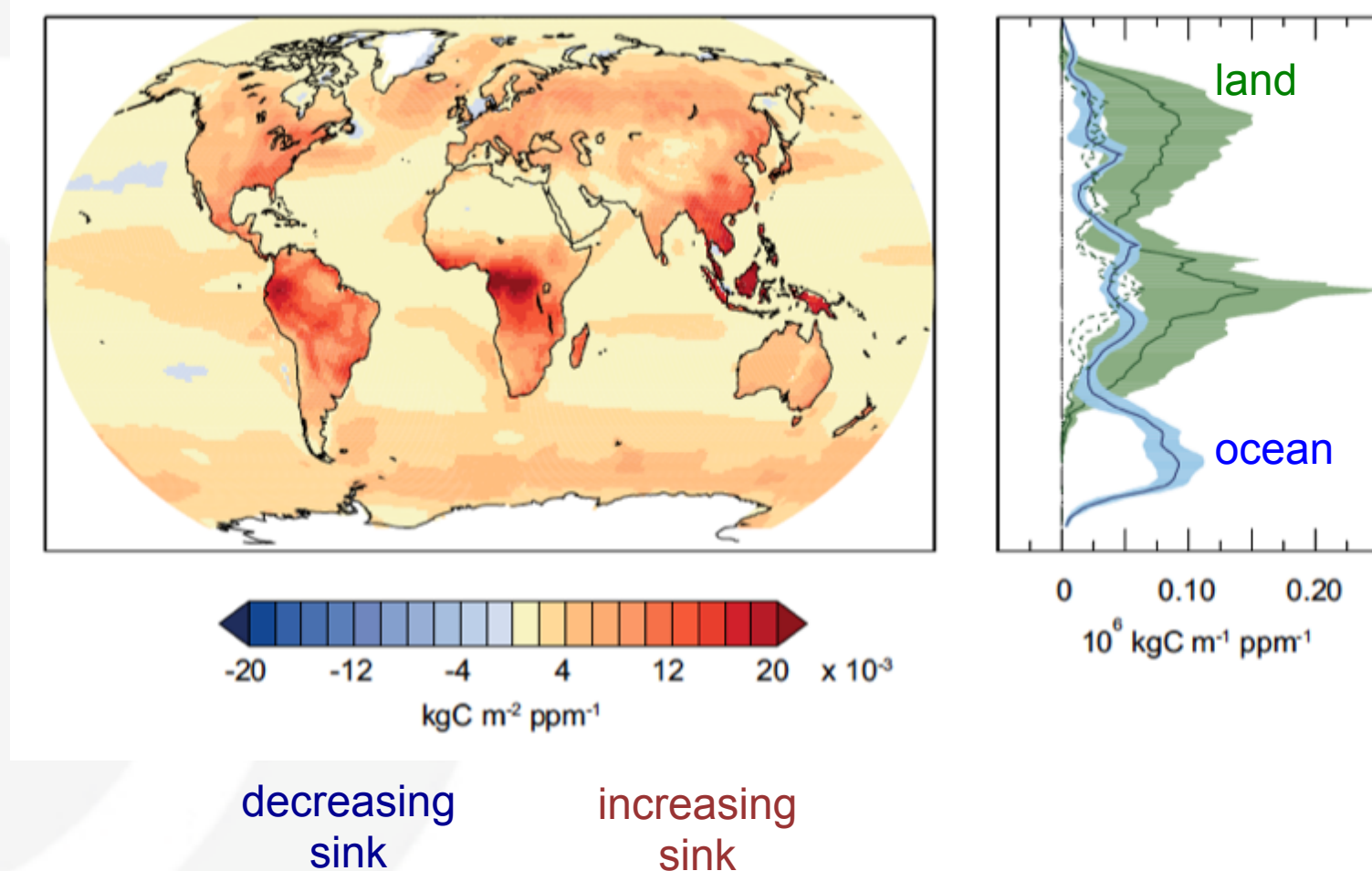
Sinks response to CO₂ (PgC / ppm)

Sinks response to climate (PgC / K)

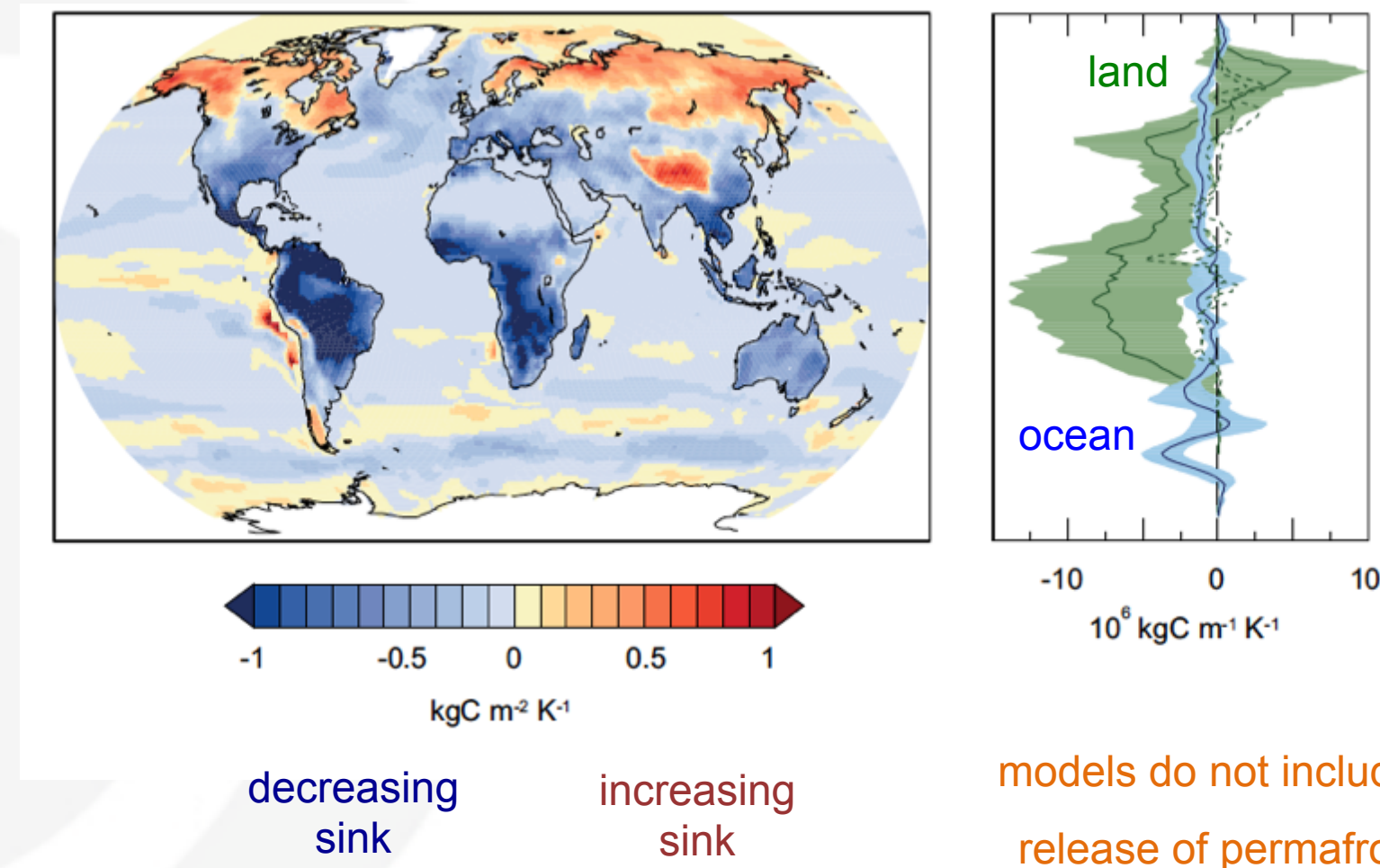


Climate change will affect carbon cycle processes in a way that will exacerbate the increase of CO₂ in the atmosphere (*high confidence*)

Réponse au CO₂ atmosphérique seul



Réponse au changement du climat seul



models do not include the release of permafrost C

Productivité limitée par les nutriments

nature
geoscience

LETTERS

PUBLISHED ONLINE: 20 APRIL 2015 | DOI: 10.1038/NGEO2413

Future productivity and carbon storage limited by terrestrial nutrient availability

William R. Wieder^{1,2*}, Cory C. Cleveland³, W. Kolby Smith^{3,4} and Katherine Todd-Brown^{5,6}

Wieder et al., Nature 2015

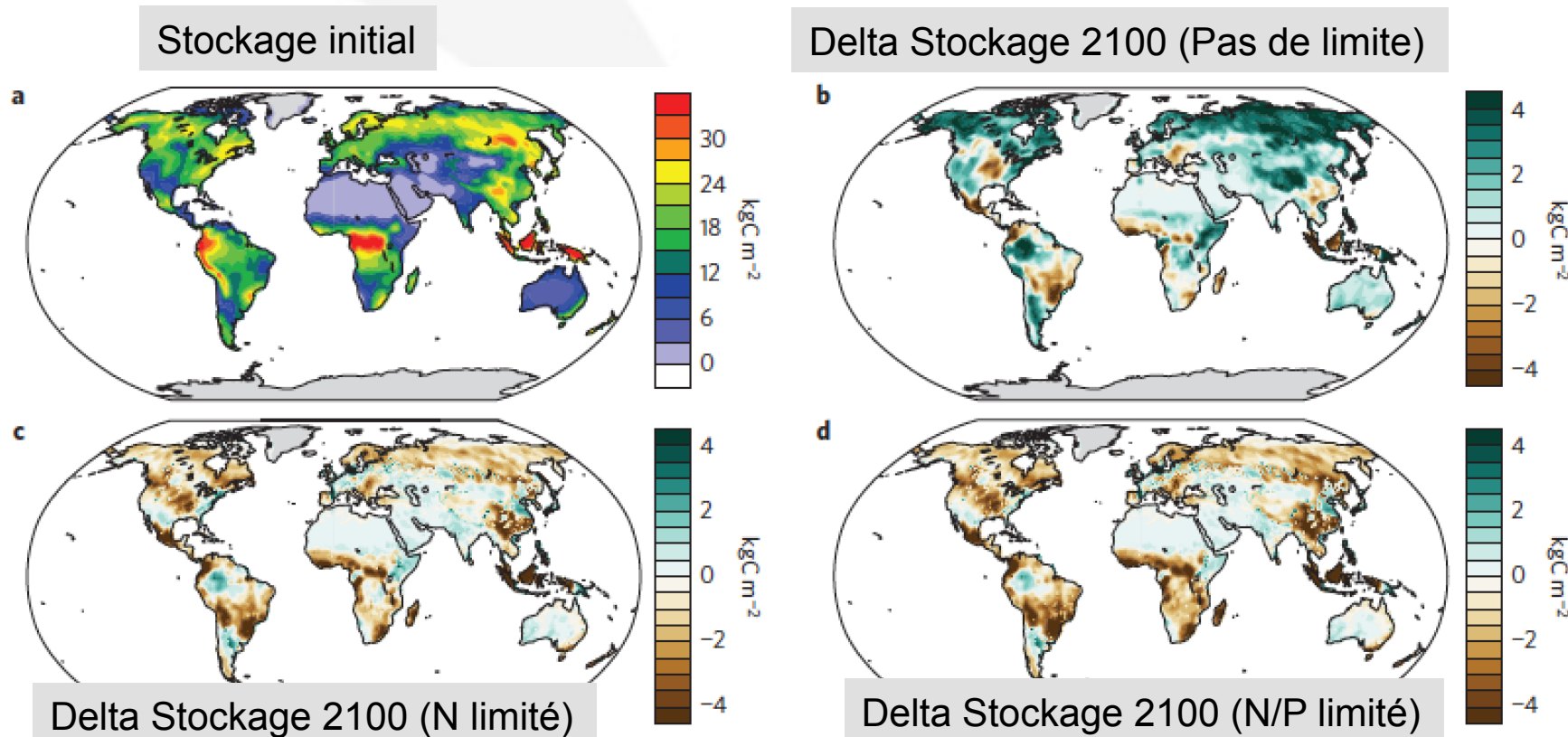


Figure 2 | Multi-model mean terrestrial C storage and changes in C storage with different assumptions about nutrient limitation. a, Mean initial terrestrial C storage for all CMIP5 models (1860–1869). b–d, Multi-model mean changes in terrestrial C storage at the end of the twenty-first century under RCP 8.5 assuming that increases in NPP are limited by nothing (as in the CMIP5 archive; b), new N inputs (c), and new N and P (d). Individual model results for data summarized are shown in Supplementary Figs 8–10.

Effet combiné climat - carbone

Combined climate and carbon-cycle effects of large-scale deforestation

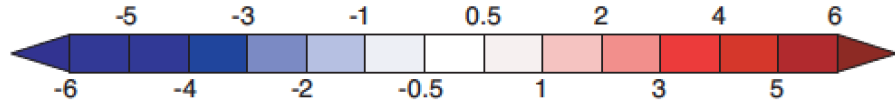
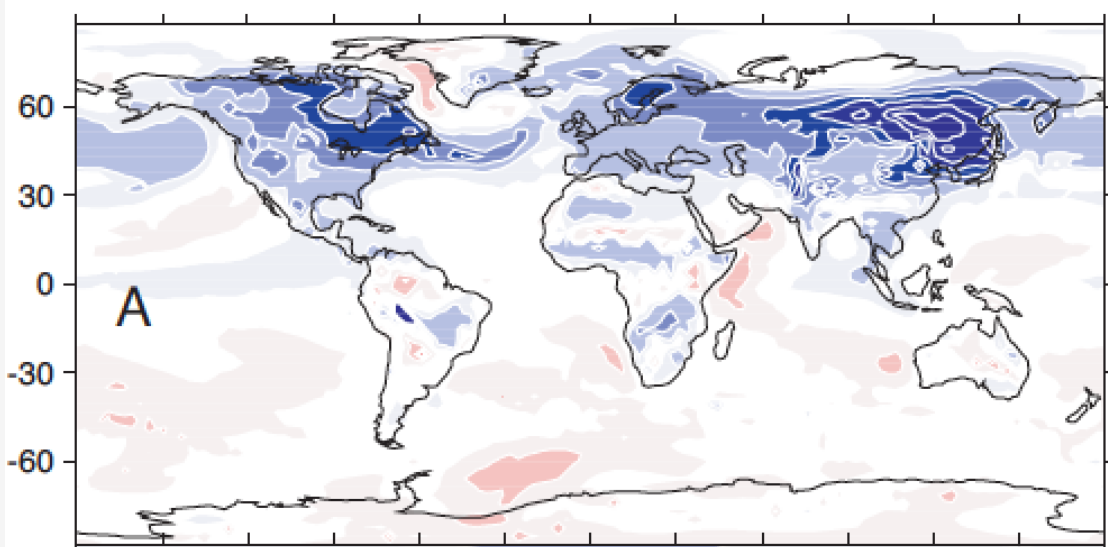
G. Bala^{*†}, K. Caldeira[‡], M. Wickett^{*}, T. J. Phillips^{*}, D. B. Lobell^{*}, C. Delire[§], and A. Mirin^{*}

^{*}Energy and Environment Directorate, Lawrence Livermore National Laboratory, Livermore, CA 94550; [†]Department of Global Ecology, Carnegie Institution, Stanford, CA 94305; and [§]Université Montpellier II, 34095 Montpellier cedex 5, France

Edited by Peter Vitousek, Stanford University, Stanford, CA, and approved February 24, 2007 (received for review October 11, 2006)

Bala et al., PNAS, 2007

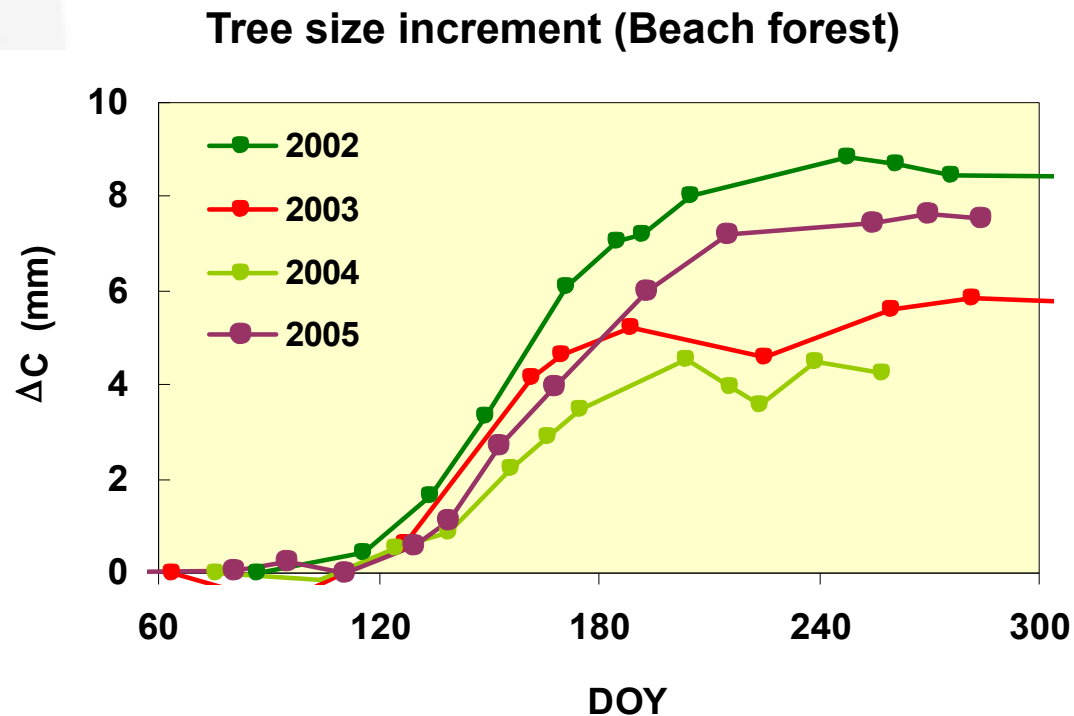
Simulation du Delta Température en 2100:
Avec déforestation – Reference (sans déforestation)



→ Effet biophysique
refroidissant
sur-compense
effet réchauffant du CO₂

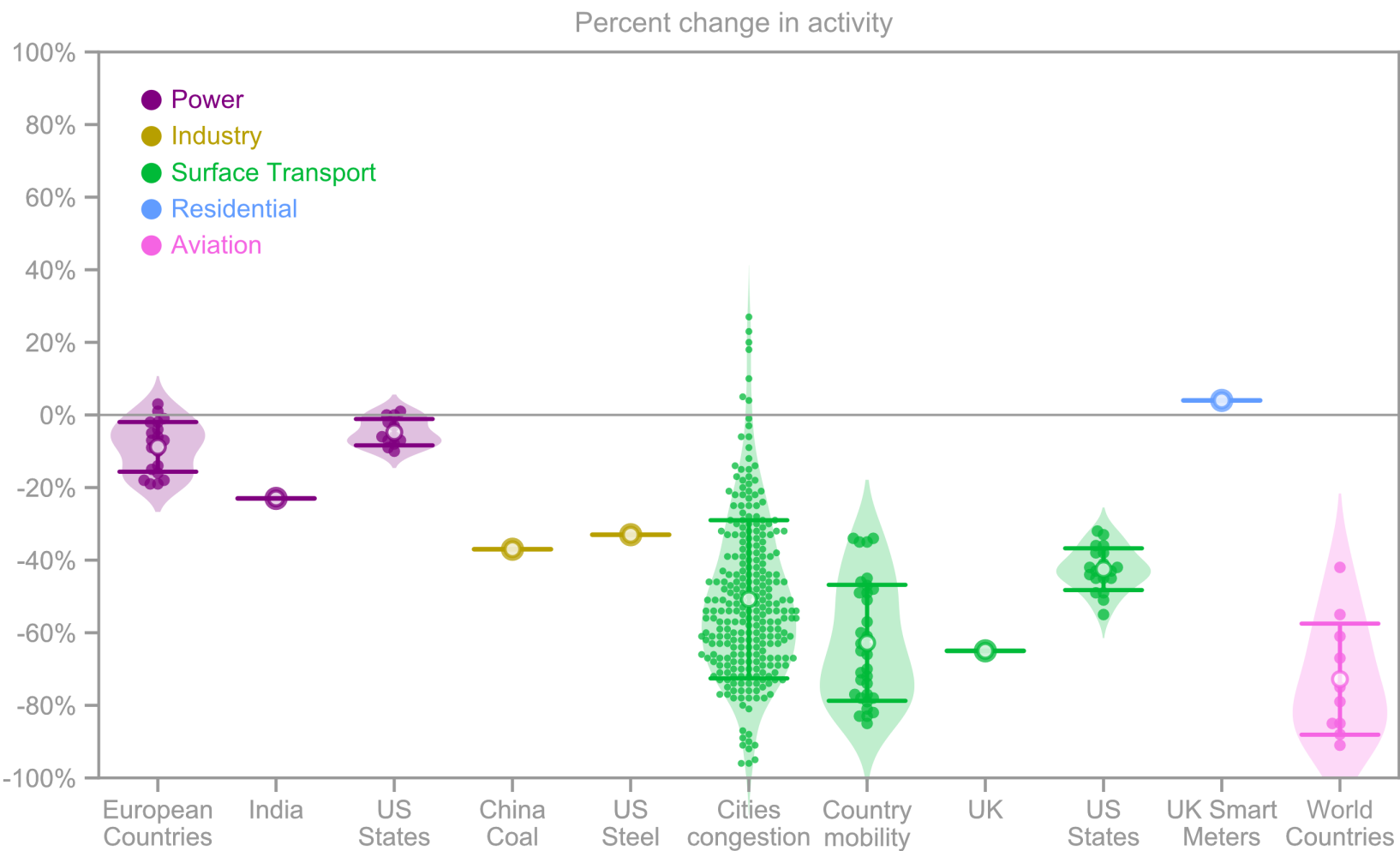
Qqs enjeux dans la modélisation du bilan de C terrestre

- Soil processes (carbon dynamic)
- Better account for Land management history
- Species competitions & Adaptation to climate changes
- Biotic effects on forests (i.e. insect damage)
- Lag effects of climate extreme



Covid-19 : impact sur les émissions de CO₂

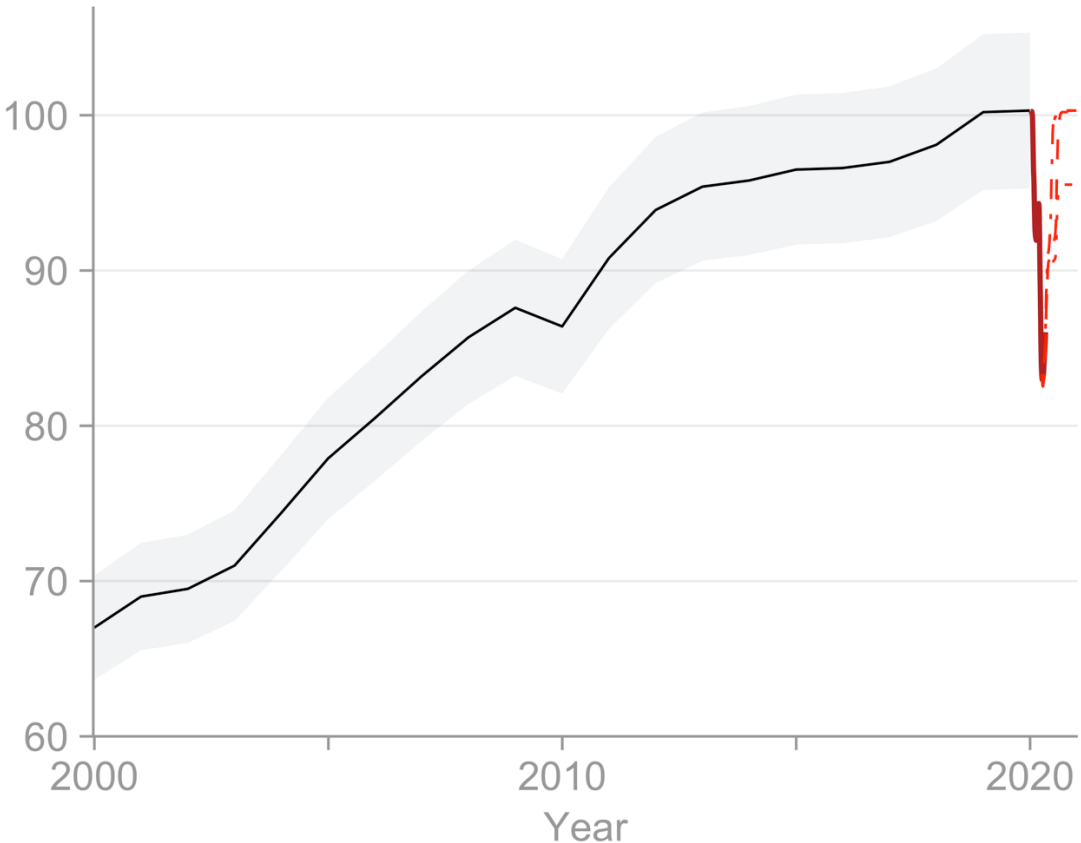
Covid-19 pandemic impact on C fluxes



Covid-19 pandemic impact on C fluxes

Global daily fossil CO₂ emissions

MtCO₂ day⁻¹



MtCO₂ day⁻¹

100

90

80

70

60

J F M A M J J A S O N D
2020

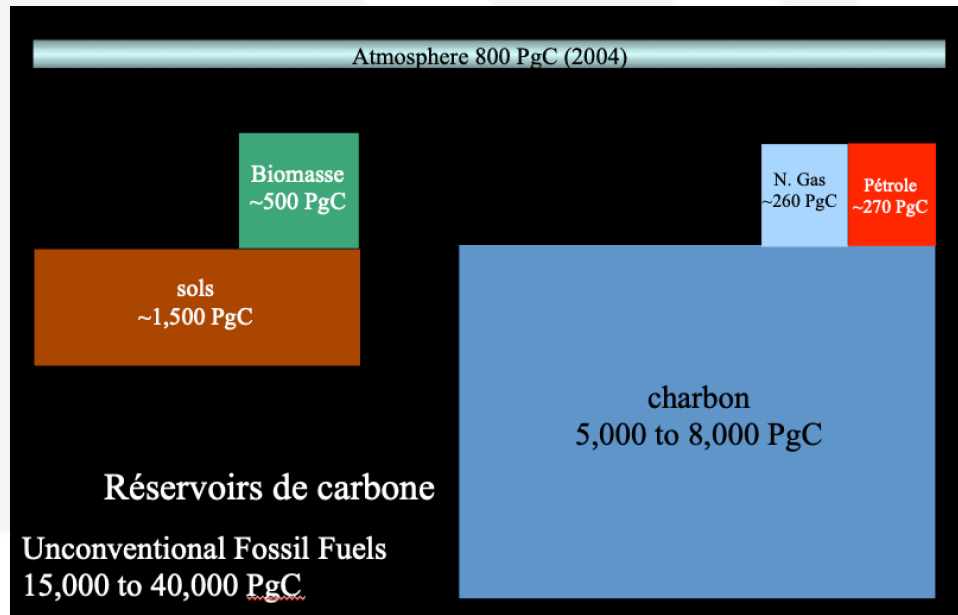
Source: Le Quéré et al. Nature Climate Change (2020); Global Carbon Project

Merci pour votre attention !

Quelques enjeux...

Comment ne pas utiliser tout le C fossile restant ?

Besoin de prendre en compte tous les services écosystémiques !

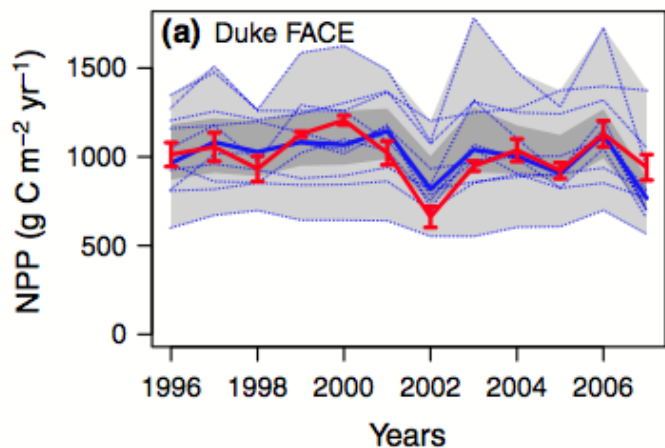


Additional slides

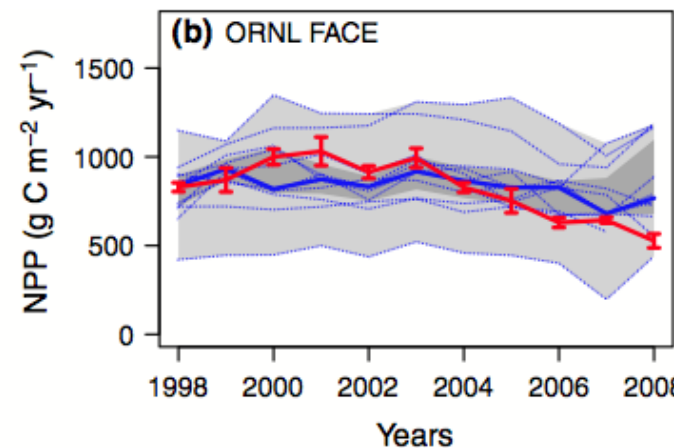
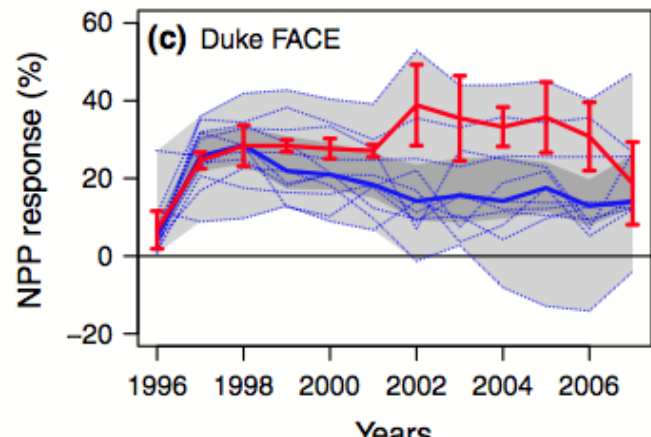
Evaluation de la réponse des modèles au CO₂

Expérience d'enrichissement en CO₂ : réponse simulée de la Productivité Primaire Nette (NPP) de modèle incluant cycles C/N

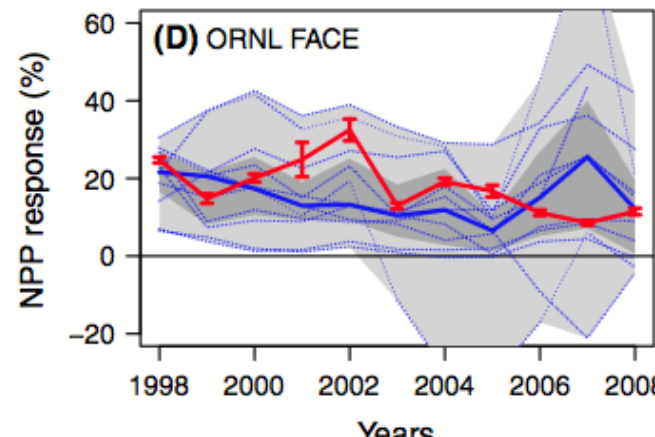
NPP
(control
CO₂)



NPP
(double
CO₂)



Observed
Models



— observed ■ interquartile model range individual models
— multi-model mean ■ model range

Forêts boréales et climat..

Offset of the potential carbon sink
from boreal forestation by
decreases in surface albedo

Richard A. Betts

Hadley Centre for Climate Prediction and Research, The Met Office, Bracknell,
Berkshire RG12 2SY, UK

Betts et al., *Nature*, 2000

→ Augmentation des
forêts boréales
compense en partie
l'effet de stockage
du CO₂ sur le climat
(température)
Via
une diminution
de l'albédo

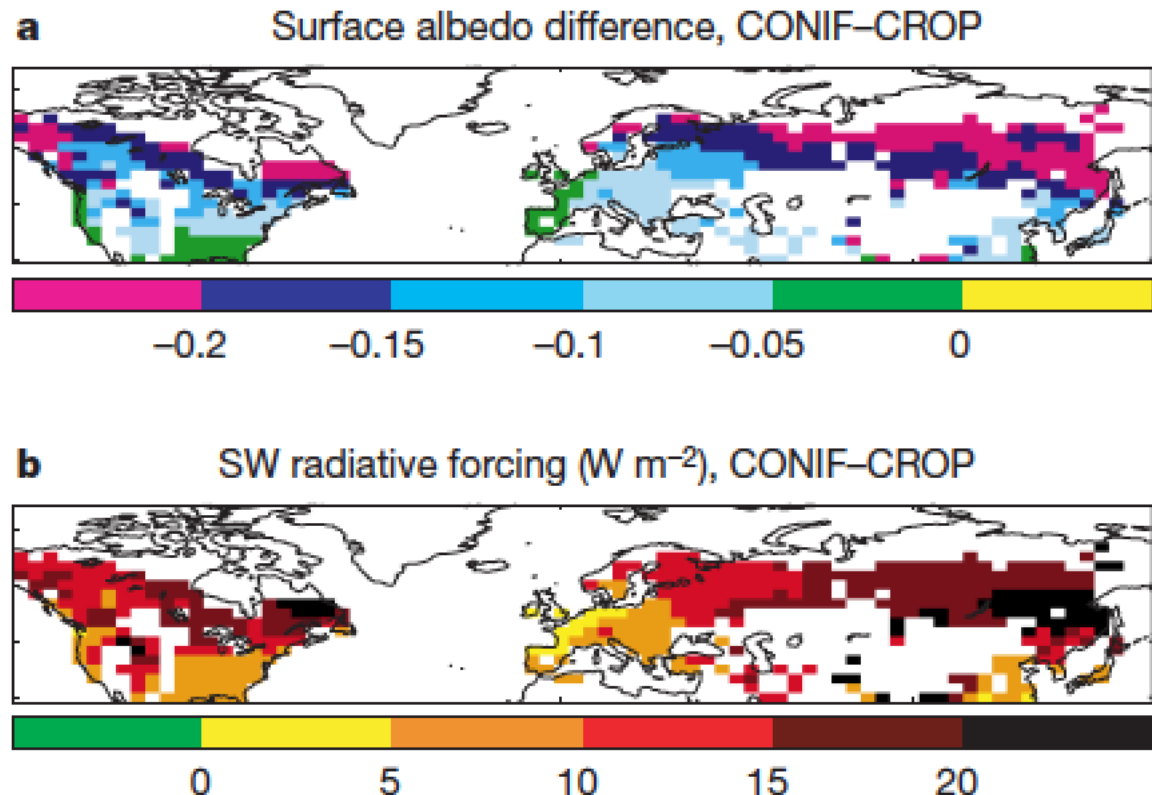
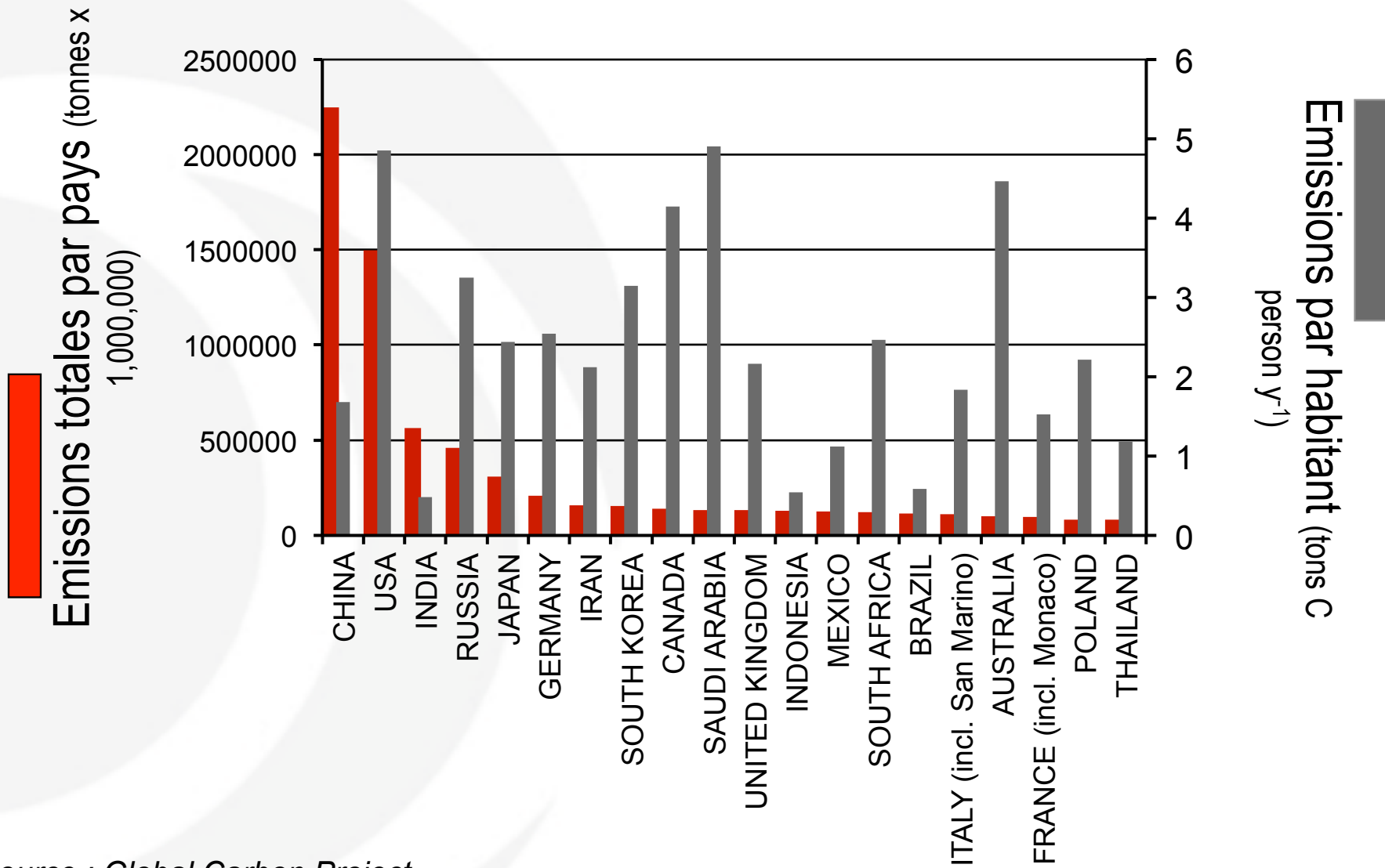


Figure 1 Effects of forestation on the solar radiation budget. **a**, Difference in annual-mean surface albedo α simulated by CONIF and CROP. **b**, Local instantaneous shortwave (SW) radiative forcing at the tropopause due to surface albedo change. At uncoloured gridpoints, vegetation was identical in CONIF and CROP.

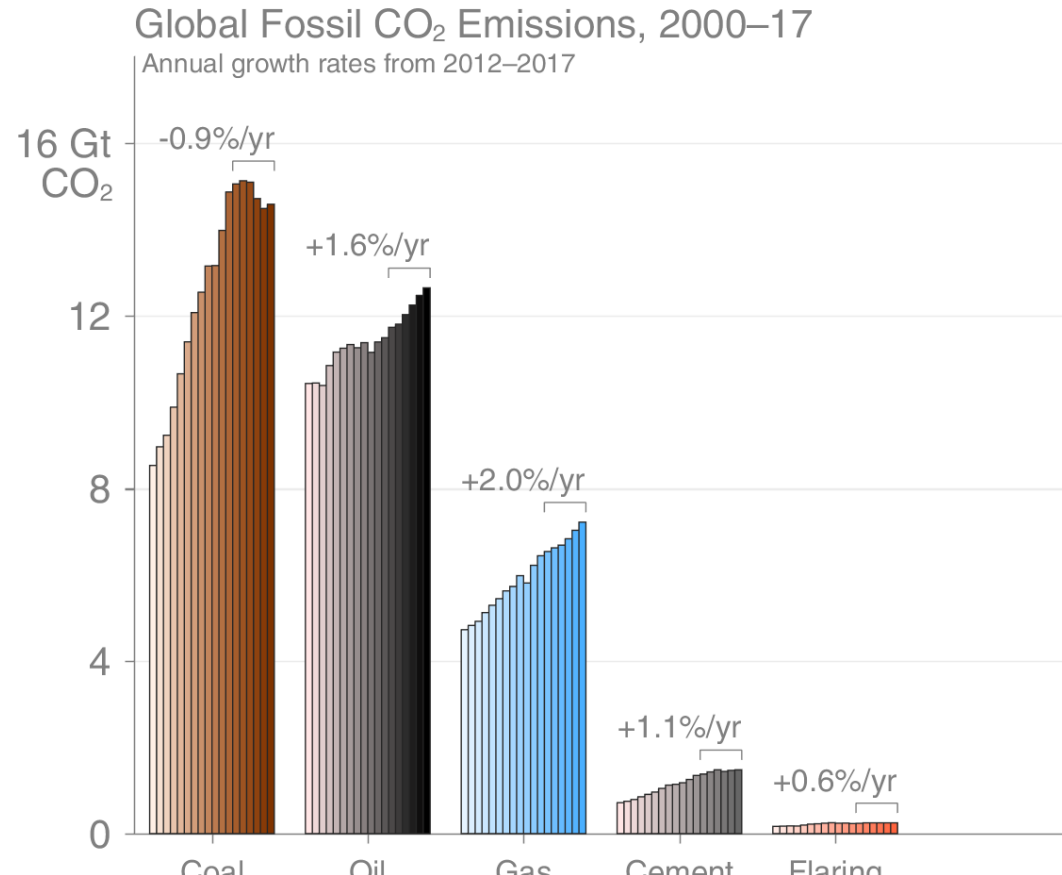
Emissions de CO₂ fossile par pays et par habitant



Source : Global Carbon Project

Fossil CO₂ Emissions by source

Emissions by category from 2000 to 2017, with growth rates indicated for the more recent period of 2012 to 2017

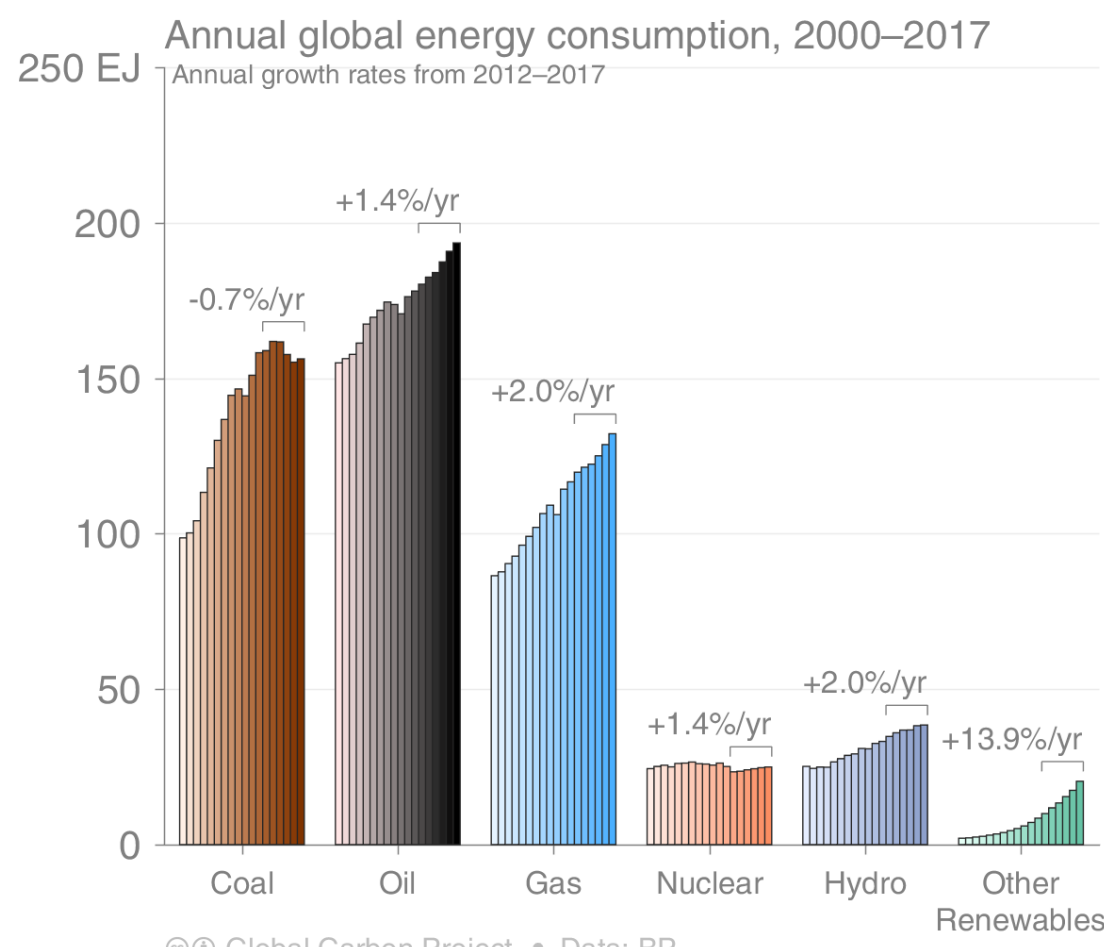


© Global Carbon Project • Data: CDIAC/UNFCCC/BP/USGS

Source: [CDIAC](#); [Jackson et al 2018](#); [Global Carbon Budget 2017](#)

Energy use by source

Energy consumption by fuel source from 2000 to 2017, with growth rates indicated for the more recent period of 2012 to 2017



CC BY Global Carbon Project • Data: BP

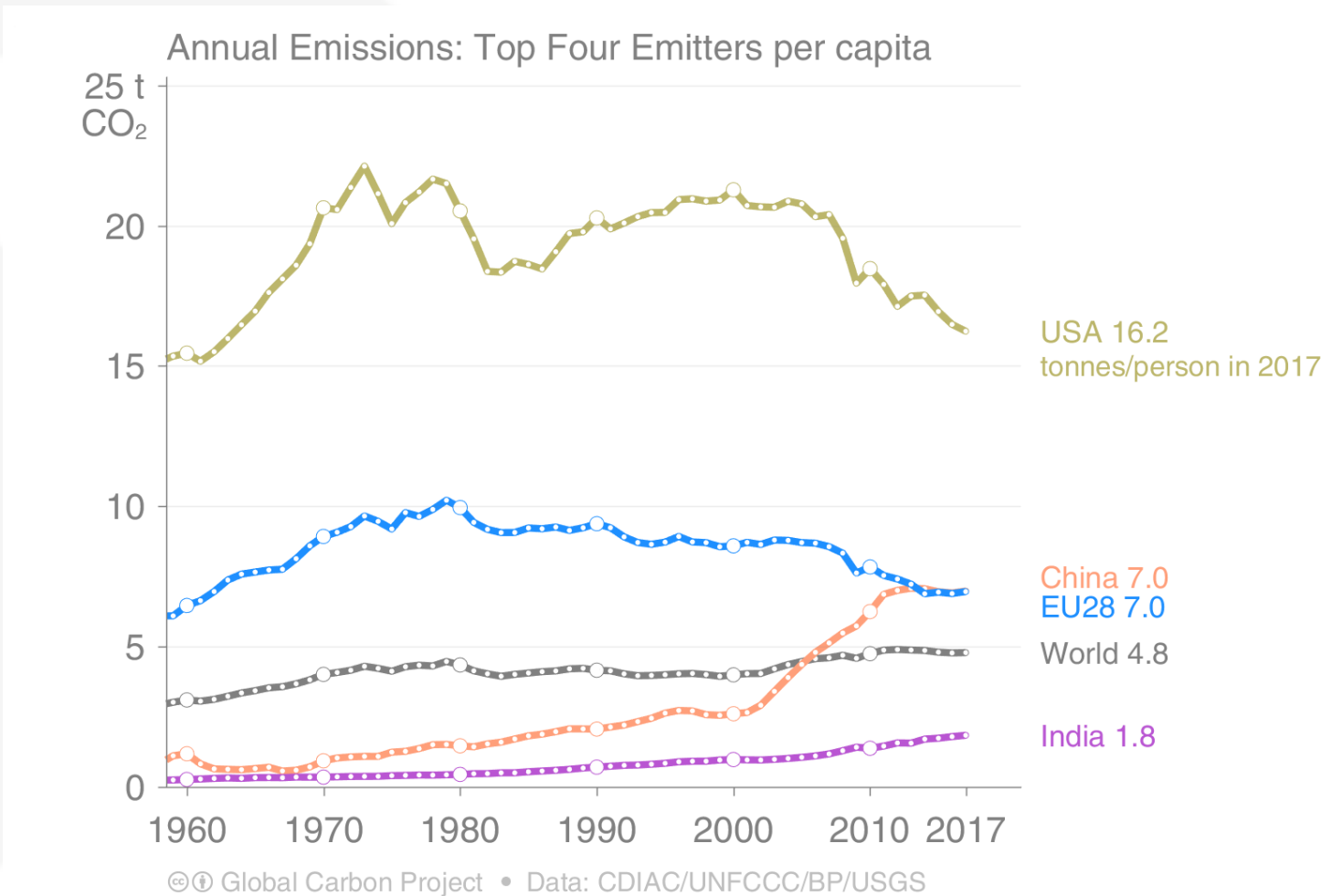
This figure shows primary energy using the BP substitution method.

(non-fossil sources are scaled up by an assumed fossil efficiency of 0.38)

Source: [BP 2018](#); [Jackson et al 2018](#); [Global Carbon Budget 2018](#)

Top emitters: Fossil CO₂ Emissions per capita

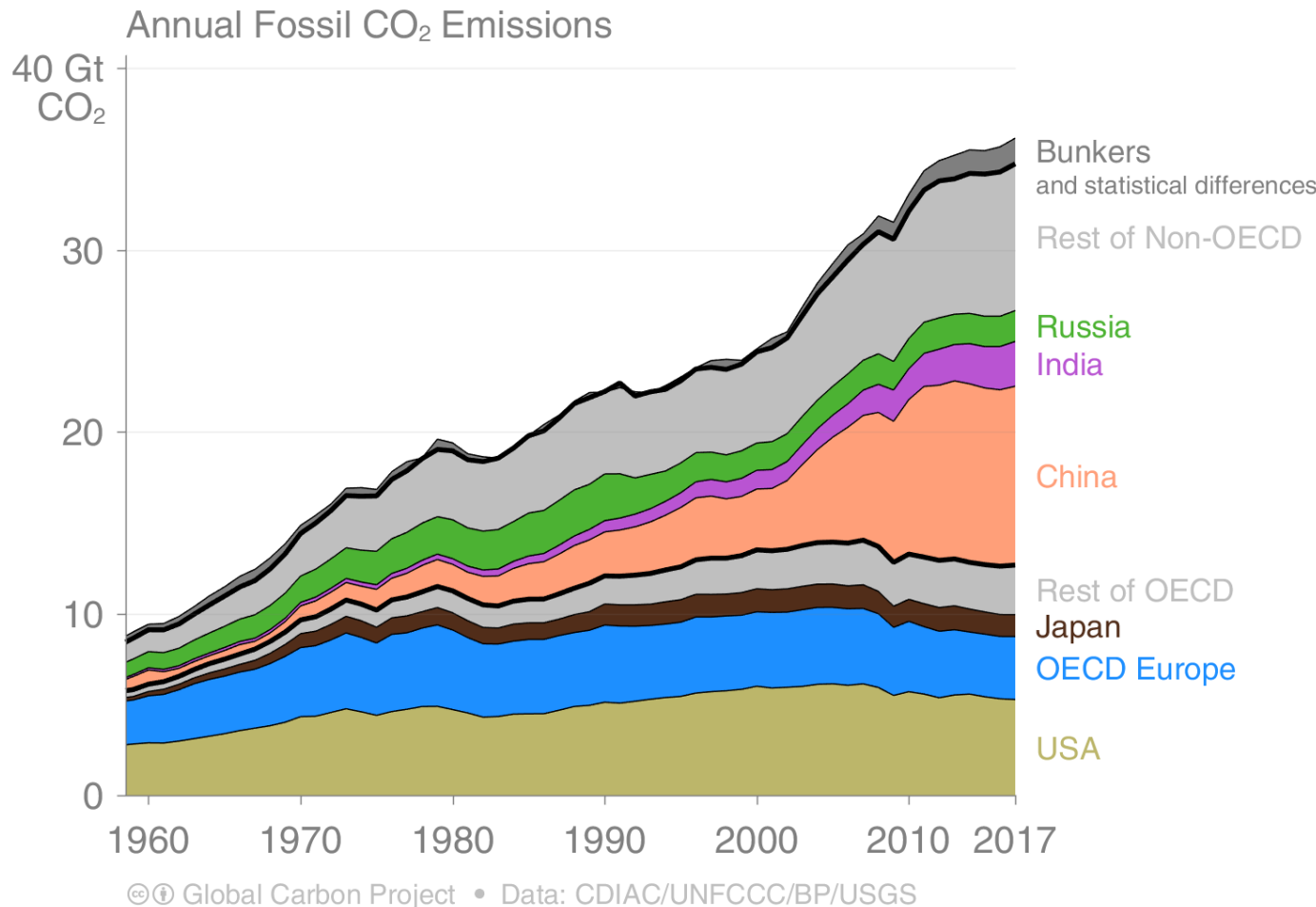
Countries have a broad range of per capita emissions reflecting their national circumstances



Source: [CDIAC](#); [Le Quéré et al 2018](#); [Global Carbon Budget 2018](#)

Breakdown of global fossil CO₂ emissions by country

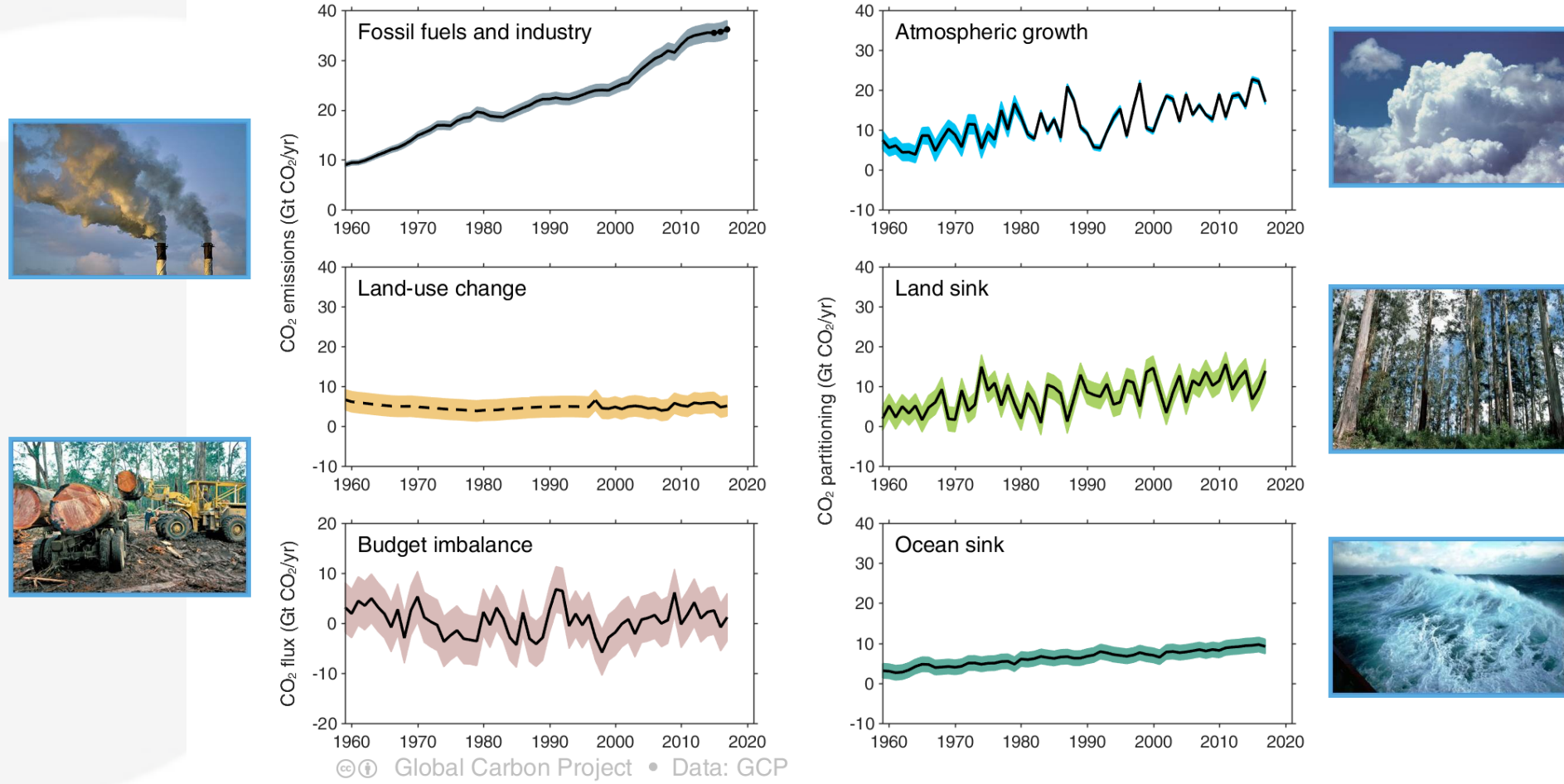
Emissions in OECD countries have increased by 5% since 1990,
while those in non-OECD countries have more than doubled



Source: [CDIAC](#); [Le Quéré et al 2018](#); [Global Carbon Budget 2018](#)

Changes in the budget over time

The sinks have continued to grow with increasing emissions, but climate change will affect carbon cycle processes in a way that will exacerbate the increase of CO₂ in the atmosphere



The budget imbalance is the total emissions minus the estimated growth in the atmosphere, land and ocean.
It reflects the limits of our understanding of the carbon cycle.

Source: [CDIAC](#); [NOAA-ESRL](#); [Houghton and Nassikas 2017](#); [Hansis et al 2015](#); [Le Quéré et al 2018](#); [Global Carbon Budget 2018](#)

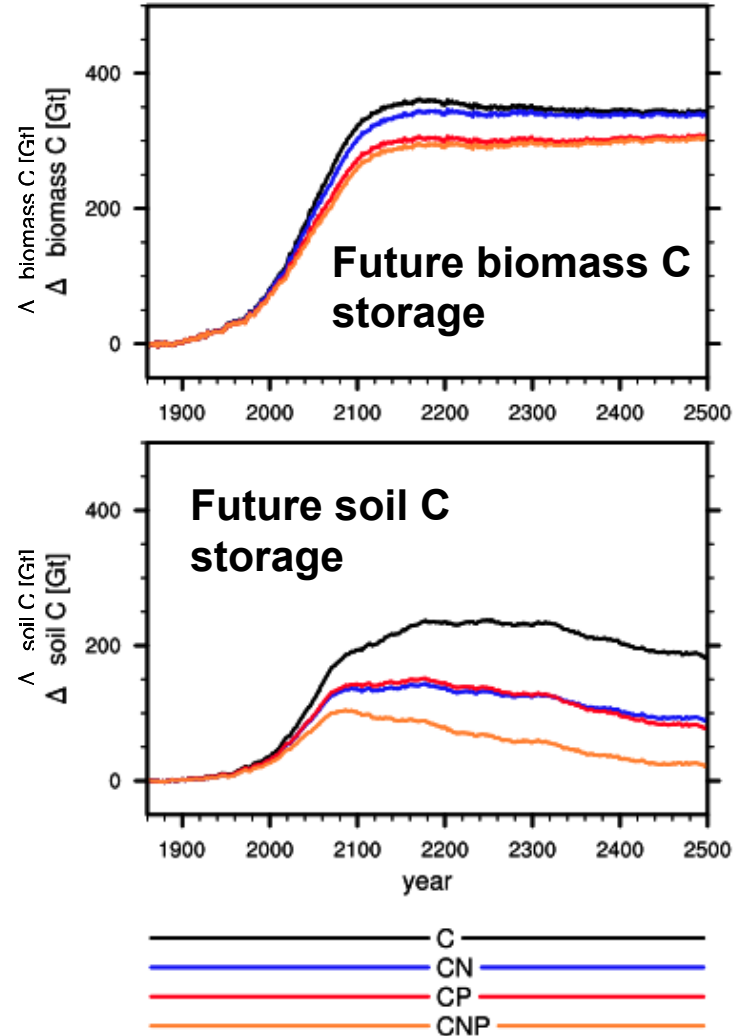
Future of the assessment : Nutrient limitation on terrestrial C storage



Only 1-2 Earth System Models included N-limitations in CMIP5 and found a smaller sink response to CO₂ and climate

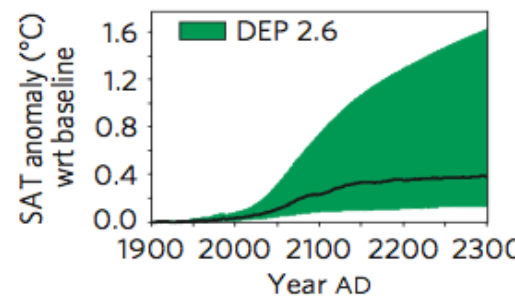
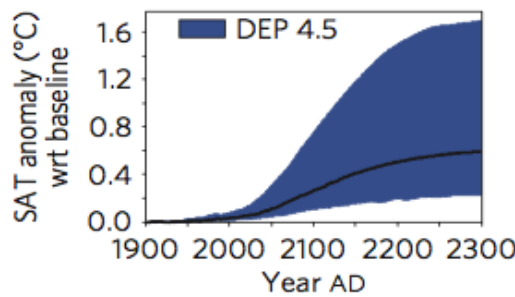
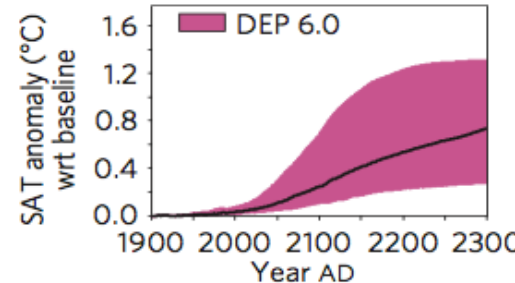
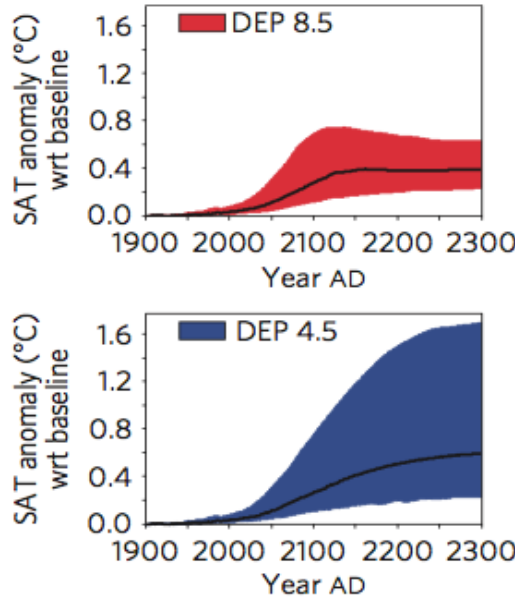
Offline model
with N & P
limitations

Goll et al. 2012



Future of the assessment : 'cold' carbon processes, permafrost C

1670 Pg C
In permafrost

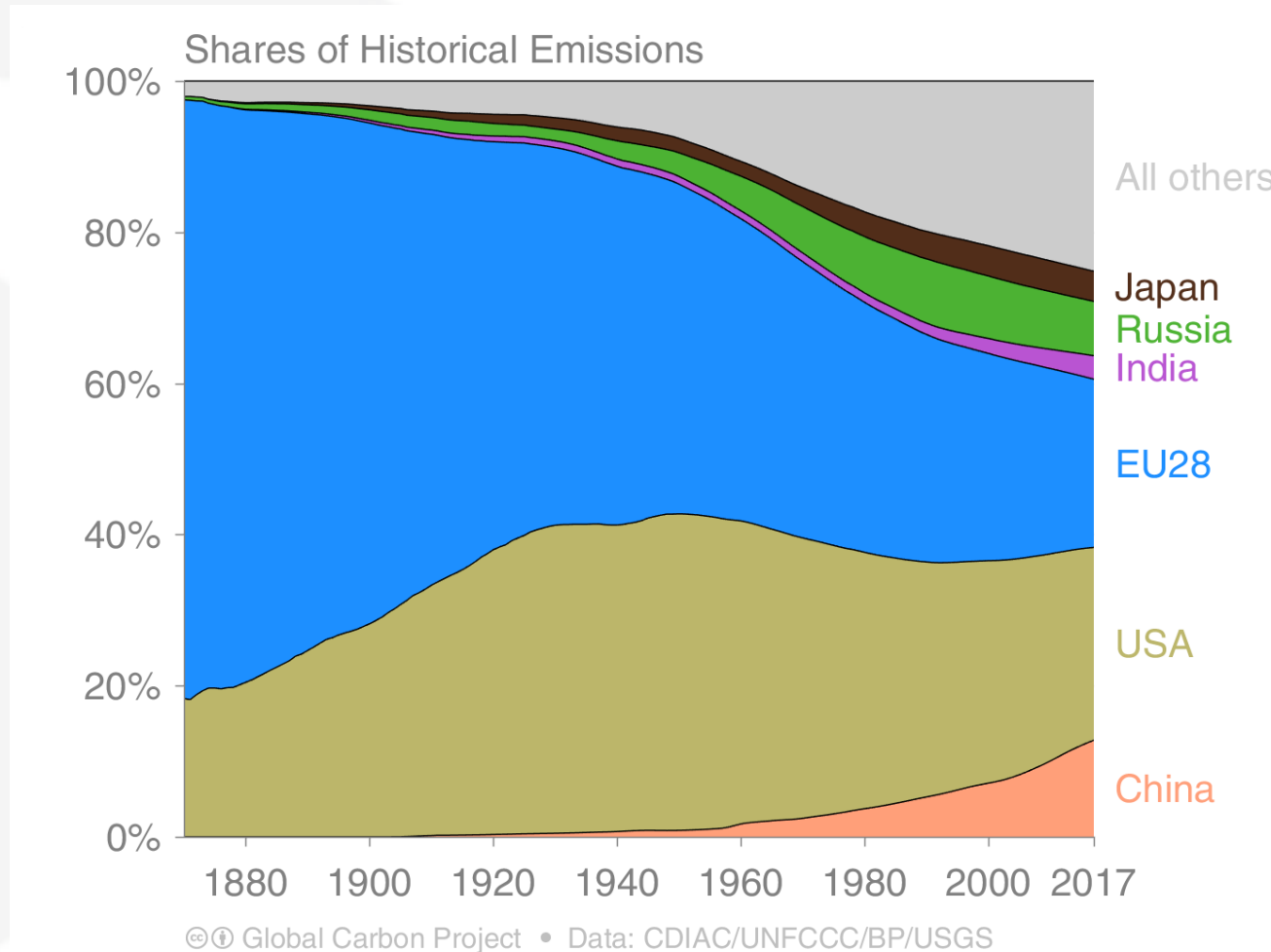


Mc Dougall et al. 2013

An Earth System Model with permafrost carbon processes was driven by RCP emissions
Result: higher projected warming (0.13 to 1.7 $^{\circ}\text{C}$) and CO₂ release (70 to 500 PgC)
Key « missing » processes : soil ice, soil C vertical distribution, soil C pools decomposition rates [C:N], fire & thermokarst

Historical cumulative fossil CO₂ emissions by country

Cumulative fossil CO₂ emissions were distributed (1870–2017):
USA 25%, EU28 22%, China 13%, Russia 7%, Japan 4% and India 3%



Cumulative emissions (1990–2017) were distributed China 20%, USA 20%, EU28 14%, Russia 6%, India 5%, Japan 4%

'All others' includes all other countries along with bunker fuels and statistical differences

Source: [CDIAC](#); [Le Quéré et al 2018](#); [Global Carbon Budget 2018](#)